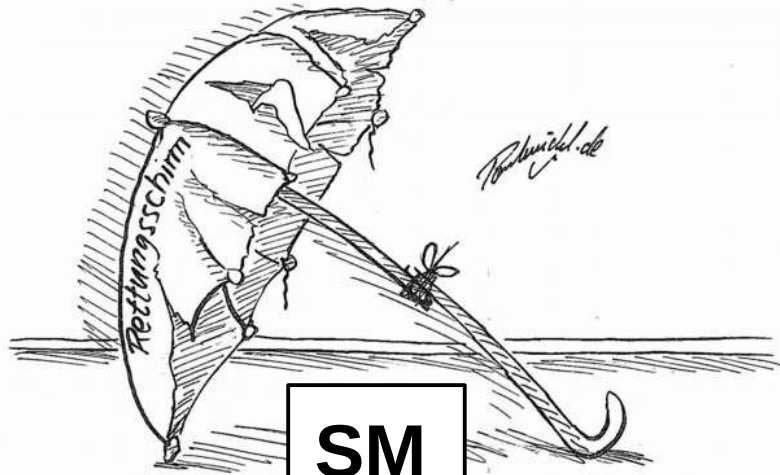


Moderne Experimentalphysik III: Hadronen und Teilchen (Physik VI)

Thomas Müller, Roger Wolf
28. Juni 2018

INSTITUTE OF EXPERIMENTAL PARTICLE PHYSICS (IETP) – PHYSICS FACULTY




SM

Problem: lokale Eichsymmetrien in Lagrangedichte sind durch massive Teilchen explizit gebrochen

Wie kann eine Symmetrie zur gleichen Zeit erhalten und gebrochen sein?

Spontane Symmetriebrechung:

$$f(x, y) = x^2 + y^2$$

$$x = r \cos \varphi$$

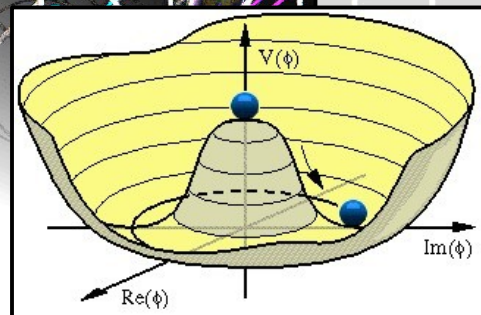
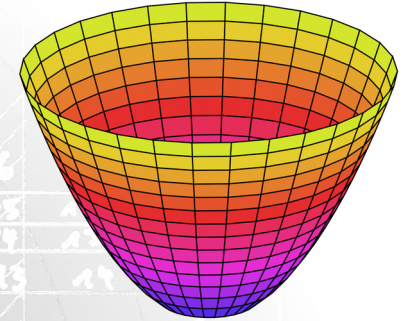
$$y = r \sin \varphi$$

$$f(x, y)|_{r, \varphi} = r^2 (\cos^2 \varphi + \sin^2 \varphi) = r^2$$

$$\tilde{f}(x, y) = (x - 1)^2 + (y - 1)^2$$

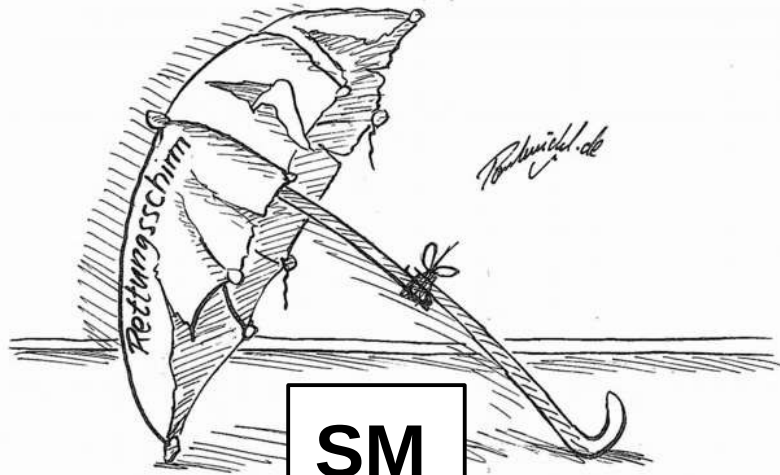
$$\tilde{f}(x, y)|_{r, \varphi} = r^2 + 2(1 - r(\sin \varphi + \cos \varphi))$$

("hidden symmetry")



Führe Potential ein das den Grundzustand des Universums aus der Symmetrieachse der Bewegungsgleichungen zwingt.

→ Teilchenmasse als Kopplung an nicht verschwindenden Vakuumerwartungswert.


SM

Problem: lokale Eichsymmetrien in Lagrangedichte sind durch massive Teilchen explizit gebrochen

Erinnerung:

$$\begin{aligned}
 f_{H \rightarrow ff} &= i \frac{m_f}{v} && \text{(Fermions)} \\
 f_{H \rightarrow VV} &= i \frac{2m_V^2}{v} && \text{(Heavy Bosons trilinear)} \\
 f_{HH \rightarrow VV} &= i \frac{2m_V^2}{v^2} && \text{(Heavy Bosons quartic)} \\
 f_{H \rightarrow HH} &= i \frac{3m_H^2}{v} && \text{(H Boson trilinear)} \\
 f_{HH \rightarrow HH} &= i \frac{3m_H^2}{v^2} && \text{(H Boson quartic)}
 \end{aligned}$$

Wie kann eine Symmetrie zur gleichen Zeit erhalten und gebrochen sein?

Spontane Symmetriebrechung:

$$f(x, y) = x^2 + y^2$$

$$x = r \cos \varphi$$

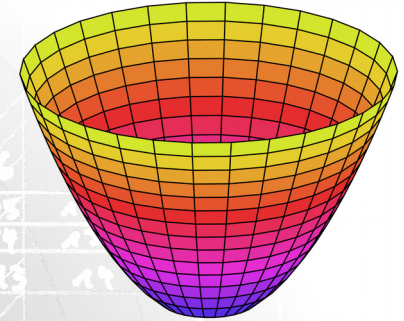
$$y = r \sin \varphi$$

$$f(x, y)|_{r, \varphi} = r^2 (\cos^2 \varphi + \sin^2 \varphi) = r^2$$

$$\tilde{f}(x, y) = (x - 1)^2 + (y - 1)^2$$

$$\tilde{f}(x, y)|_{r, \varphi} = r^2 + 2(1 - r(\sin \varphi + \cos \varphi))$$

("hidden symmetry")

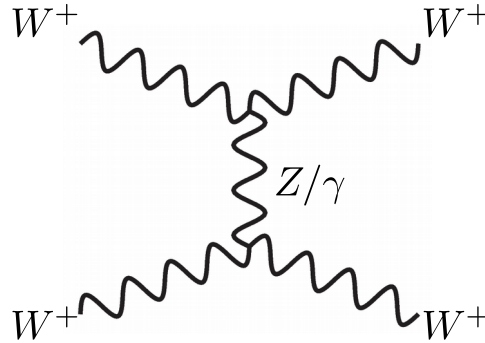
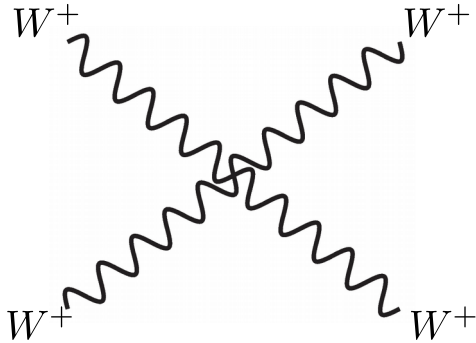


Führe Potential ein das den Grundzustand des Universums aus der Symmetrieachse der Bewegungsgleichungen zwingt.

→ Teilchenmasse als Kopplung an nicht verschwindenden Vakuumerwartungswert.

Higgs sector in the light of (tree-level) unitarity

- Unitarity problem demonstrated for $W^+W^+ \rightarrow W^+W^+$ scattering:

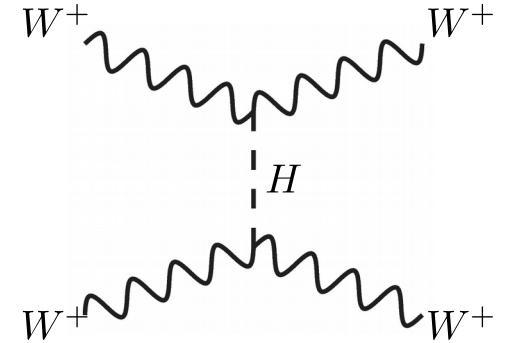
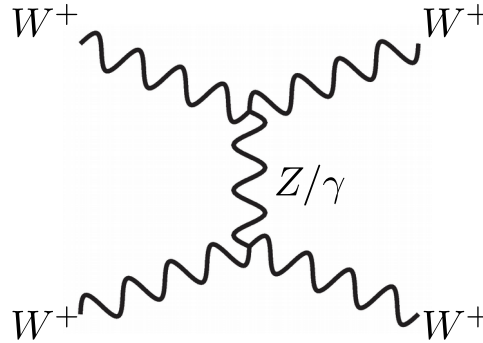
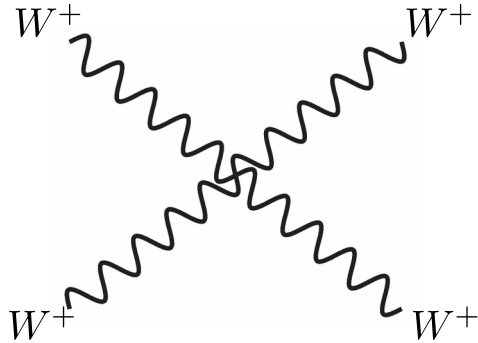


$$\mathcal{M}_{gauge} = -g^2 \frac{s}{4m_W^2} + \mathcal{O}(s^0)$$

constraint

Higgs sector in the light of (tree-level) unitarity

- Unitarity problem demonstrated for $W^+W^+ \rightarrow W^+W^+$ scattering:



$$\mathcal{M}_{gauge} = -g^2 \frac{s}{4m_W^2} + \mathcal{O}(s^0) \quad \text{constraint}$$

$$\mathcal{M}_H = g_{HWW}^2 \frac{s}{m_W^4} + \mathcal{O}(s^0)$$

$$g_{HWW} = \frac{2m_W^2}{v} = g \cdot m_W$$

$$\text{with: } v = \frac{2m_W}{g}$$

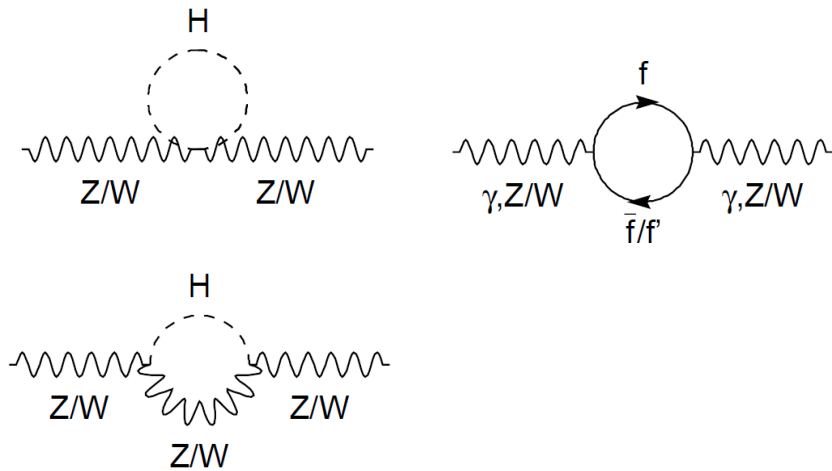
Exact cancellation of **divergent behavior** only if scalar exchange particle has coupling of type $\propto m_W^2$.

- Any additional contribution to this process should preserve this cancellation.

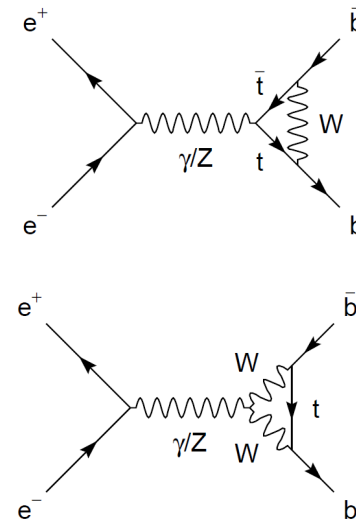
Higher orders and precision observables

- Particles, which cannot be directly observed at lower energy scales, still have influence on observables, due to higher order corrections in loops.

The Higgs/*top* in propagator loops:



The *top* in vertex loops:



- Introduce direct dependencies of (measurable) effective vector boson masses and couplings on m_H & m_t .

Higher order corrections to m_W

- Higher order corrections to m_W :

$$m_W^2 = \frac{m_Z^2}{2} \left(1 + \sqrt{1 - 4 \frac{\alpha\pi}{\sqrt{2}G_F m_Z^2} \cdot \frac{1}{1-\Delta r}} \right) \quad \Delta r = \Delta\alpha + \Delta r_W$$

$$\Delta\alpha = \Delta\alpha_{\text{lep}} + \Delta\alpha_{\text{top}} + \Delta\alpha_{\text{had}}^{(5)}$$

$$\Delta r_W(m_t, m_H) \simeq \frac{\alpha}{\pi \sin^2 \theta_W} \left(-\frac{3}{16} \frac{\cos^2 \theta_W}{\sin^2 \theta_W} \frac{m_t^2}{m_W^2} + \frac{11}{24} \log(m_H/m_Z) \right)$$

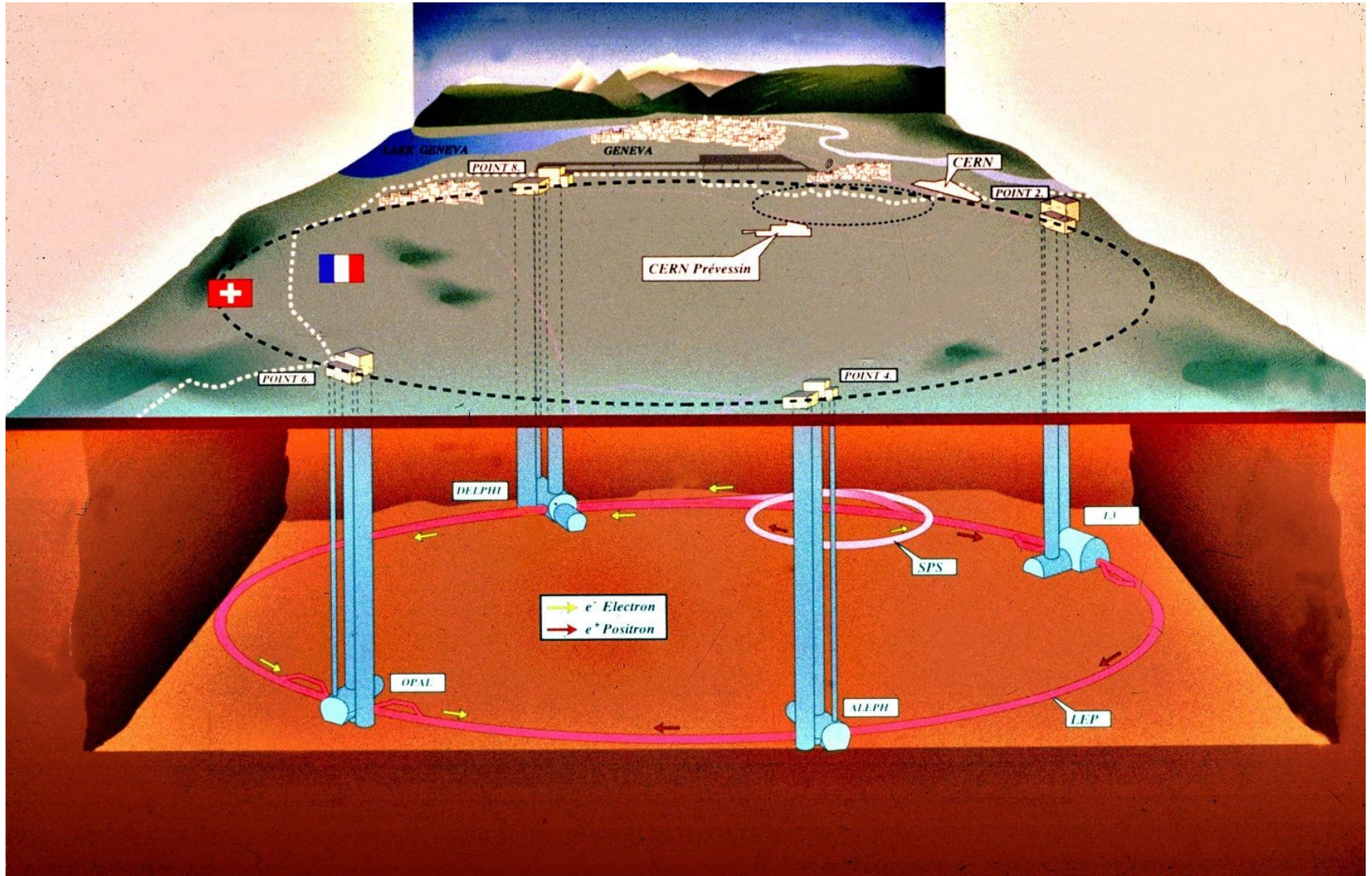
(1-loop precision)

$$\propto m_t^2$$

$$\propto \log(m_H)$$

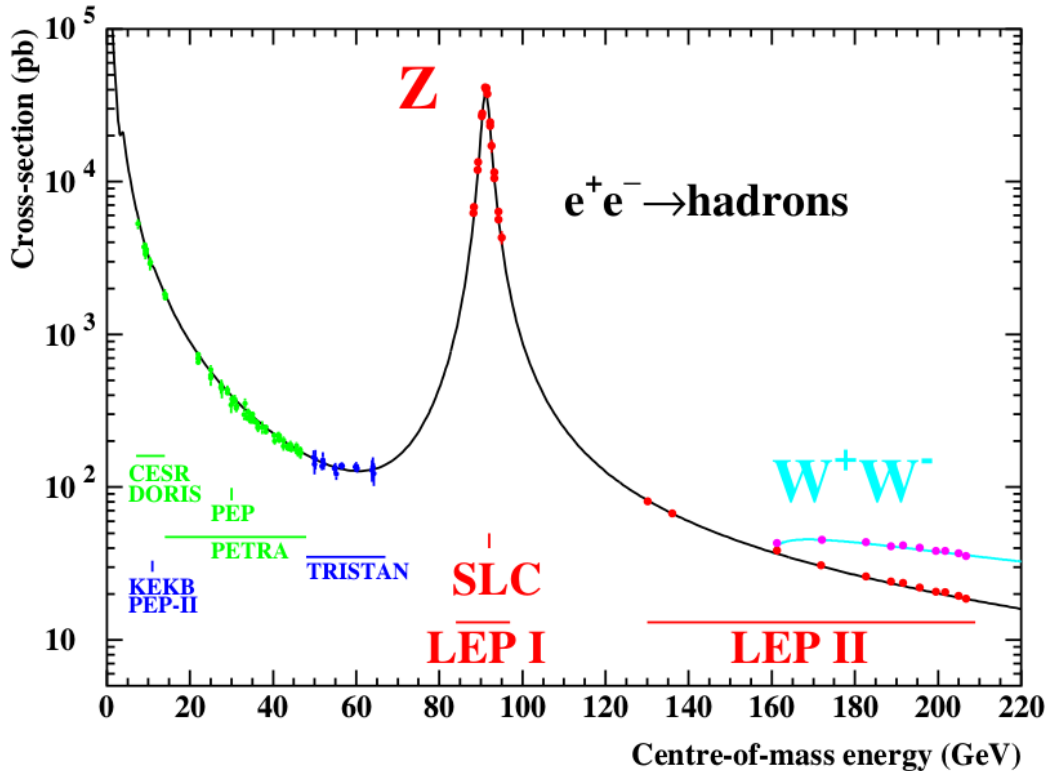
- Effects set in at $\mathcal{O}(\alpha^2) \approx \mathcal{O}(10^{-4}) \rightarrow$ high precision needed on observables and theoretical prediction!

High precision measurements @ LEP & SLAC



High precision observables @ LEP

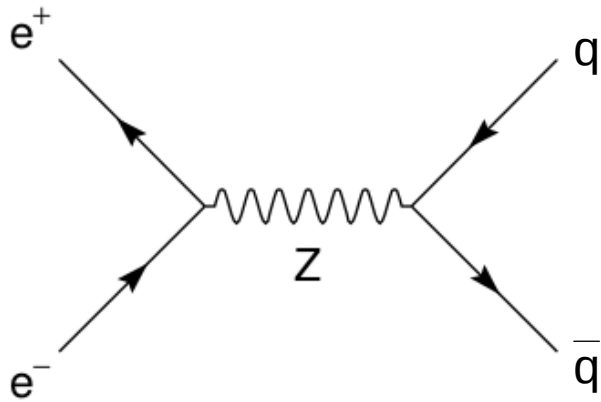
- High precision measurements made at $\sqrt{s} = m_Z$ during LEP-I run period:



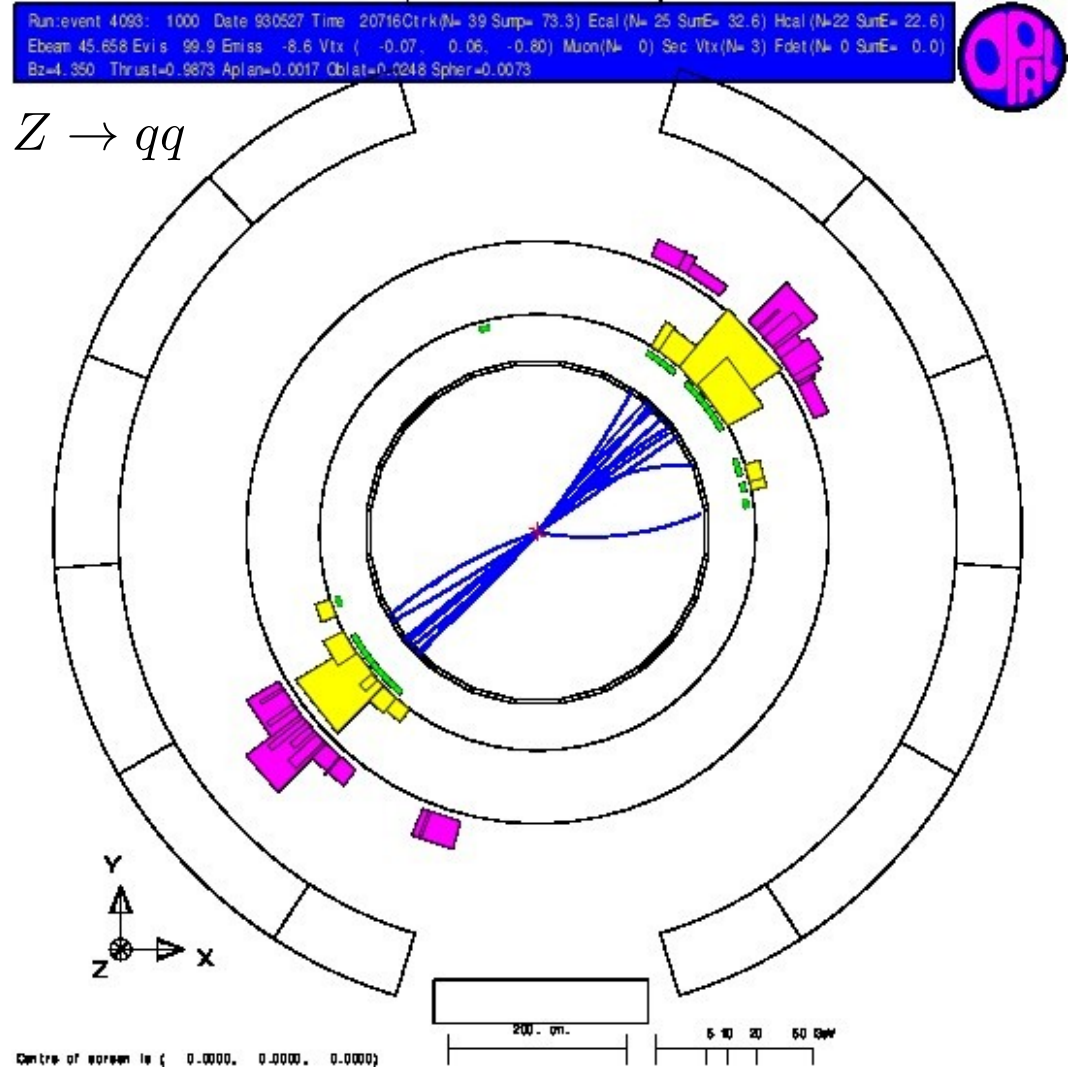
Year	Centre-of-mass energy range [GeV]	Integrated luminosity [pb^{-1}]
1989	88.2 – 94.2	1.7
1990	88.2 – 94.2	8.6
1991	88.5 – 93.7	18.9
1992	91.3	28.6
1993	89.4, 91.2, 93.0	40.0
1994	91.2	64.5
1995	89.4, 91.3, 93.0	39.8
		202.1

- $15 \cdot 10^6$ $Z \rightarrow qq$ events
- $1.7 \cdot 10^6$ $Z \rightarrow \ell\ell$ events

Typical $Z \rightarrow qq$ event @ LEP



$Z \rightarrow qq$



Z-pole electroweak precision observables

Pseudo-Observable	Measured Value		
$\Delta\alpha_{\text{had}}^{(5)}(m_Z)$	0.02758	\pm	0.00034
m_Z [GeV]	91.1875	\pm	0.0021
Γ_Z [GeV]	2.4952	\pm	0.0023
σ_{had}^0 [nb]	41.540	\pm	0.037
R_l^0	20.767	\pm	0.025
R_b^0	0.21629	\pm	0.00066
R_c^0	0.1721	\pm	0.0030
$A_{FB}^{0,l}$	0.0171	\pm	0.0010
$A_{FB}^{0,b}$	0.0992	\pm	0.0016
$A_{FB}^{0,c}$	0.0707	\pm	0.0035
$\sin^2 \theta_{\text{eff}}^{\text{lep}}$	0.2324	\pm	0.0012
$\mathcal{A}_l(\mathcal{P}_\tau)$	0.1465	\pm	0.0033
\mathcal{A}_b	0.923	\pm	0.020
\mathcal{A}_c	0.670	\pm	0.027
$\mathcal{A}_l(\text{SLD})$	0.1513	\pm	0.0021

(as of [hep-ex/0509008](https://arxiv.org/abs/hep-ex/0509008))

- 14(+1) observables.
- Precision between $\mathcal{O}(10^{-5})$ for m_Z & $\mathcal{O}(10^{-2})$ for $\mathcal{A}_l(\text{SLD})$ (including theoretical uncertainties).
- Exploit dependencies $\propto m_t^2$ and $\propto \log(m_H)$ of higher orders via relations in m_W and $\sin \theta_{\text{eff}}$.

NB: Using similar relations with the same dependencies as shown for m_W .

Parameter estimate

- Five parameter χ^2 fit:

Parameter	Best Fit Value	$\Delta\alpha_{\text{had}}^{(5)}(m_Z)$	$\alpha_s(m_Z)$	m_Z	m_t	$\log(m_H/\text{GeV})$
$\Delta\alpha_{\text{had}}^{(5)}(m_Z)$	0.02759 ± 0.00035	1.0				
$\alpha_s(m_Z)$	0.1190 ± 0.0027	-0.04	1.0			
m_Z	91.1874 ± 0.0021	-0.01	-0.03	1.0		
m_t	173 ± 11.5	-0.03	0.19	-0.07	1.0	
$\log(m_H/\text{GeV})$	2.05 ± 0.385	-0.29	0.25	-0.02	0.89	1.0

Fit of Z-pole observables only: ⁽¹⁾

$$\chi^2/n_{dof} = 16/10$$

$$\mathcal{P}(\chi^2) = 9.9\%$$

(2005)

Fit of Z-pole observables + m_W, Γ_W, m_t : ⁽²⁾

$$\chi^2/n_{dof} = 16.9/13$$

$$\mathcal{P}(\chi^2) = 20.2\%$$

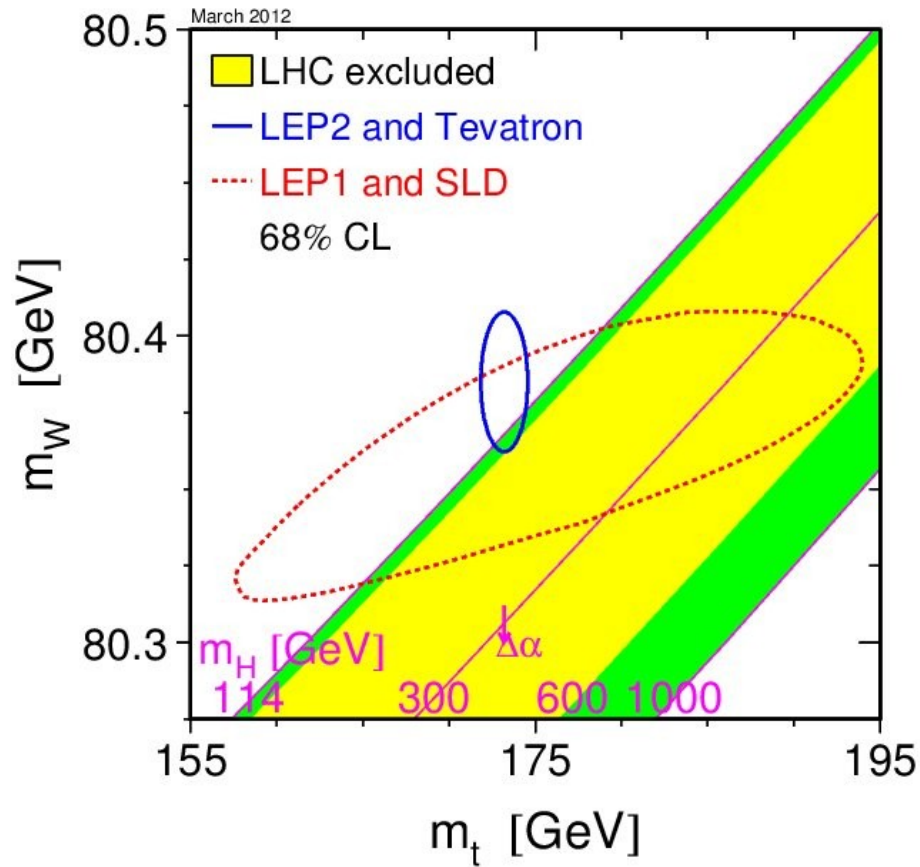
(2012)



⁽¹⁾ (as of hep-ex/0509008)

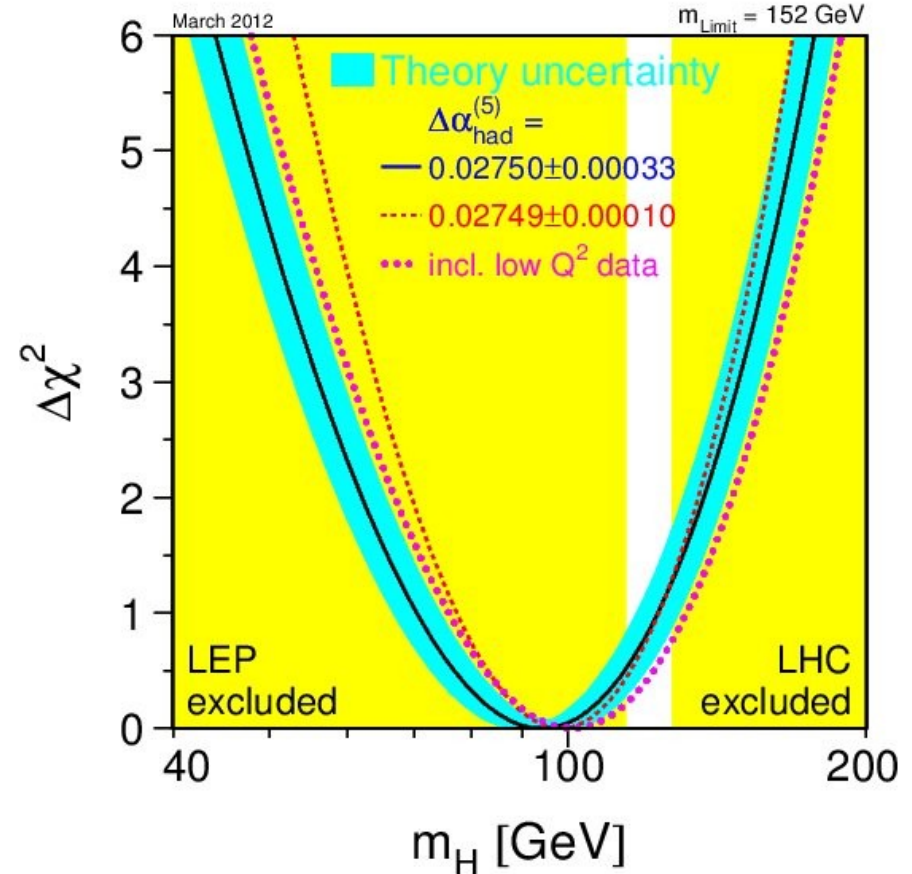
⁽²⁾ http://lepewwg.web.cern.ch/LEPEWWG/winter12_results

Main result



Z-pole + $m_W + \Gamma_W$:

$$m_t = 178.1 \pm_{7.8}^{10.9} \text{ GeV}$$



Z-pole + $m_W + \Gamma_W + m_t$:

$$m_H = 98 \pm_{21}^{25} \text{ GeV}$$

Direkte Higgs Suchen und Entdeckung



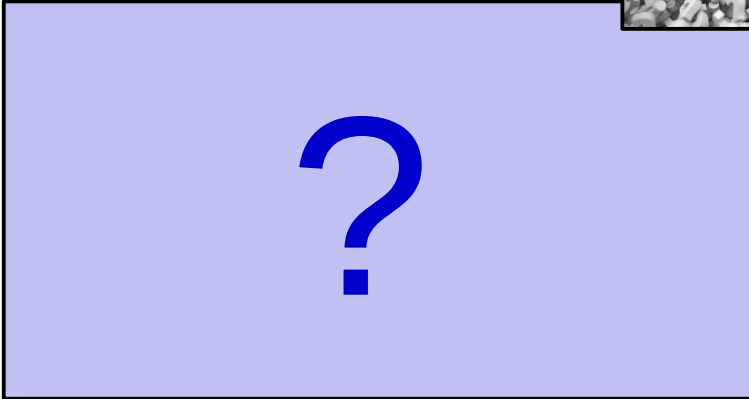
Google-Suche

Auf gut Glück!

Google.de angeboten auf: [English](#)

Direkte Suche bei LEP-II

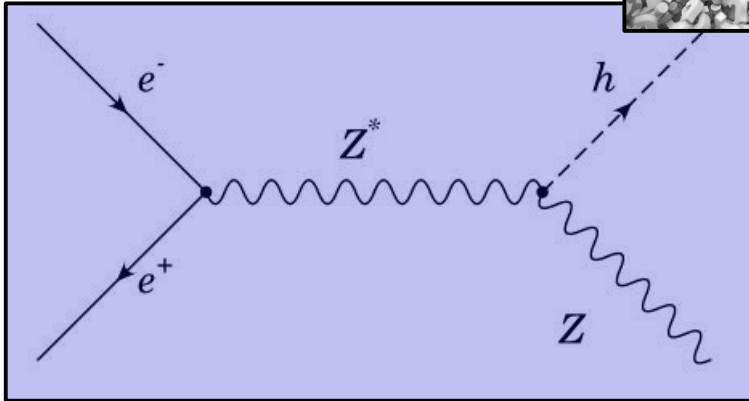
- Hauptproduktion in e^+e^- :



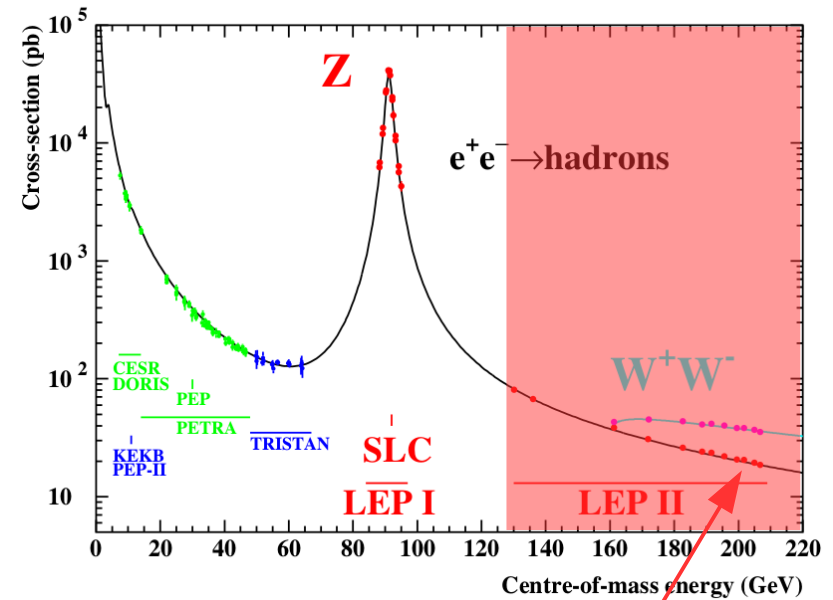
- Higgs Boson koppelt an Masse.
- Kopplung am stärksten für schwerste Objekte.

Direkte Suche bei LEP-II

- Hauptproduktion in e^+e^- :



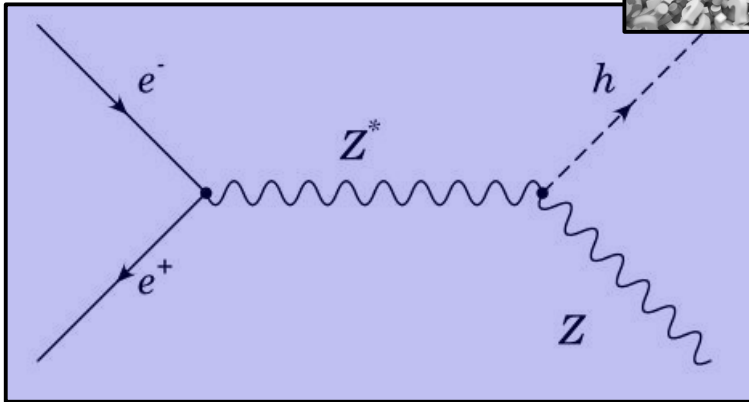
- Higgs Boson koppelt an Masse.
- Kopplung am stärksten für schwerste Objekte.



Year	1996		1997	1998	1999			2000		
E_{CM} nominal [GeV]	161	172	183	189	192	196	200	202	205	207

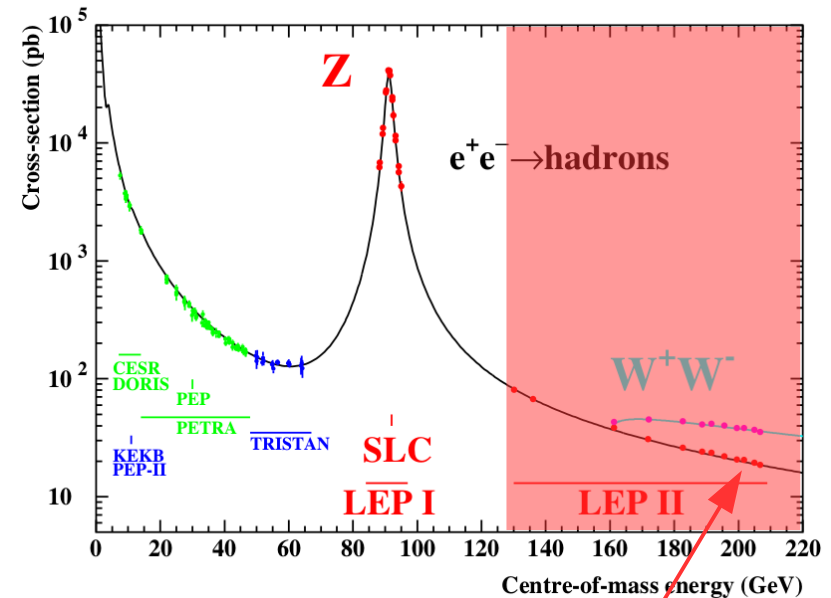
Direkte Suche bei LEP-II

- Hauptproduktion in e^+e^- :



- Higgs Boson koppelt an Masse.
- Kopplung am stärksten für schwerste Objekte.

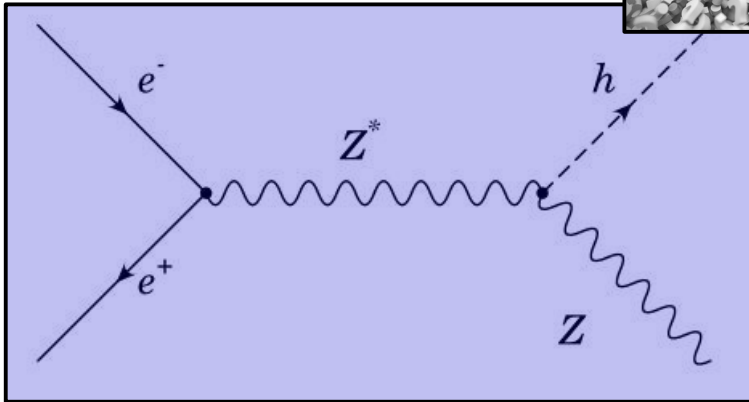
Wie groß war die maximale Reichweite der LEP-Experimente in m_H ?



Year	1996		1997	1998	1999			2000		
E_{CM} nominal [GeV]	161	172	183	189	192	196	200	202	205	207

Direkte Suche bei LEP-II

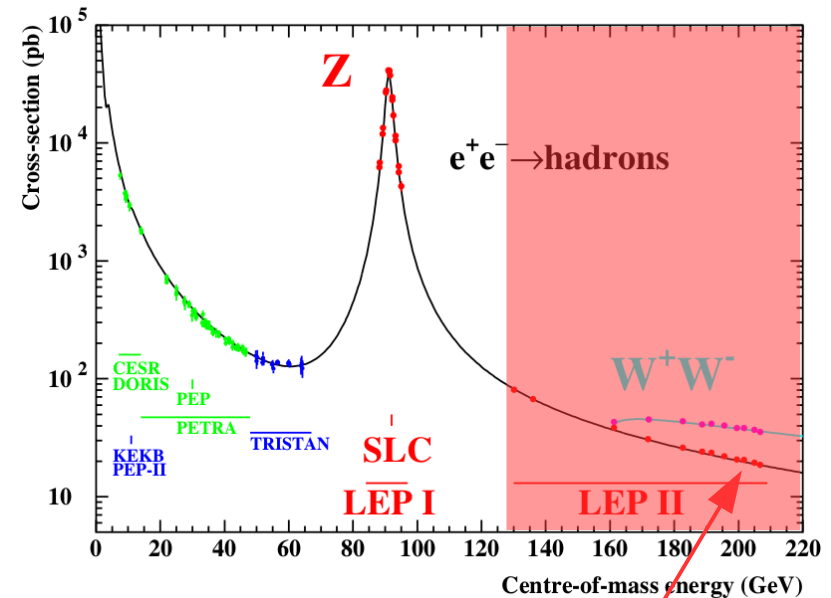
- Hauptproduktion in e^+e^- :



- Higgs Boson koppelt an Masse.
- Kopplung am stärksten für schwerste Objekte.

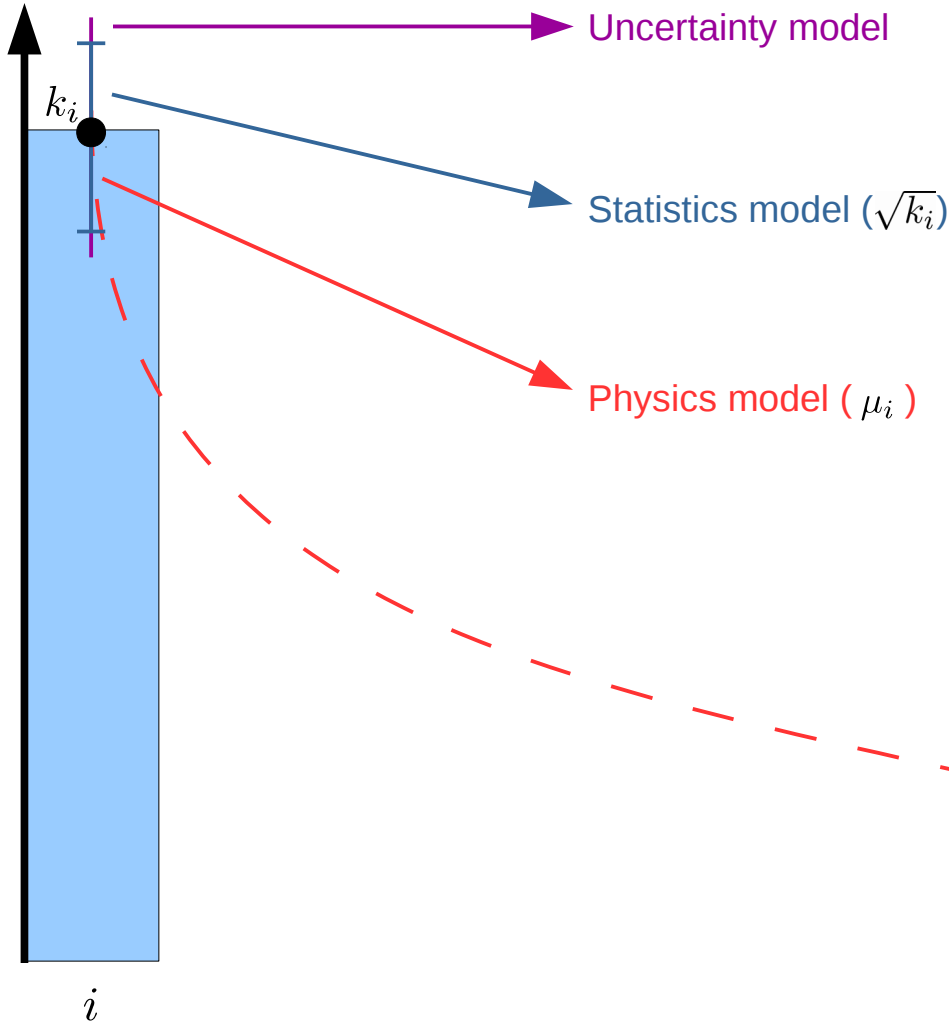
Zu vergleichen mit
Folien 9 und 10

Wie groß war die maximale
Reichweite der LEP-Experi-
mente in $m_H? \approx 117 \text{ GeV}$



Year	1996		1997	1998	1999			2000		
E_{CM} nominal [GeV]	161	172	183	189	192	196	200	202	205	207

Models in counting experiments

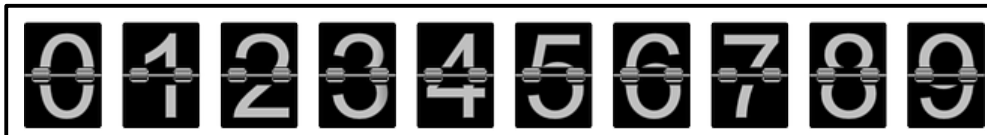


$$\mathcal{P}(k_i, \mu_i) = \frac{\mu_i^{k_i}}{k_i!} e^{-\mu_i}$$



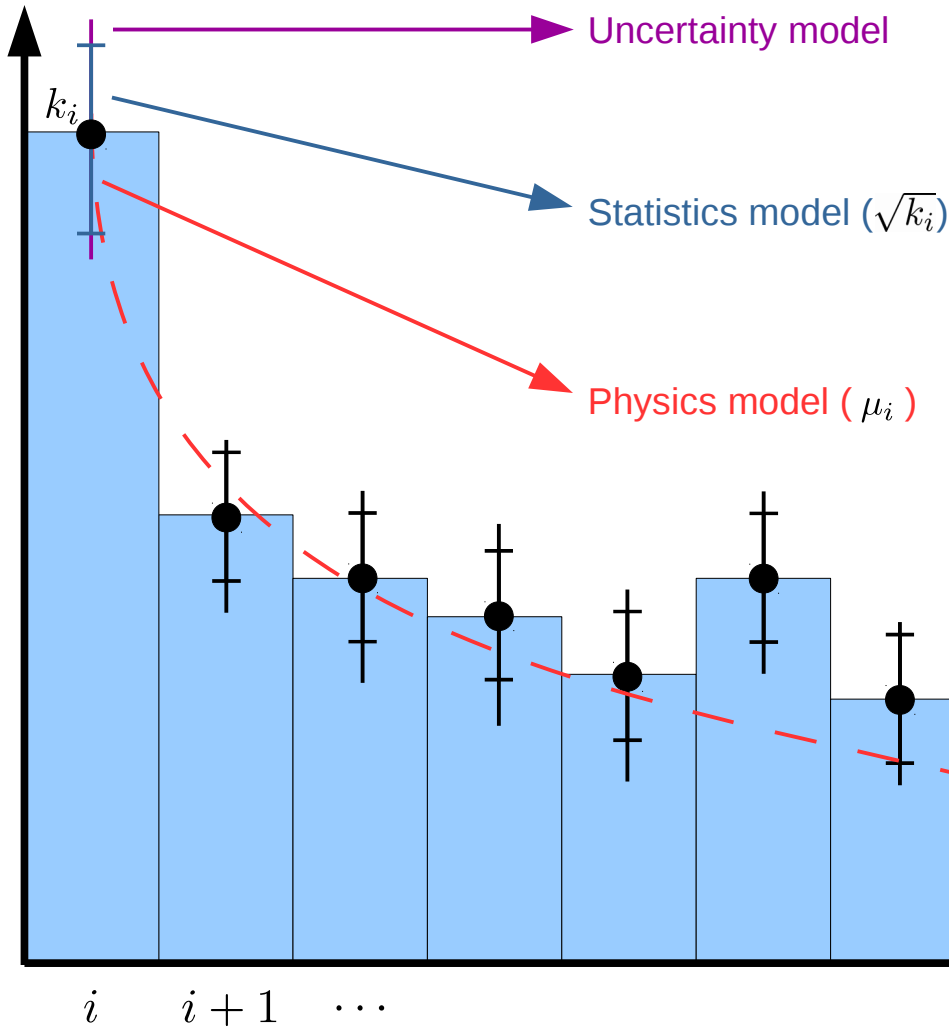
POISSON.

Poisson

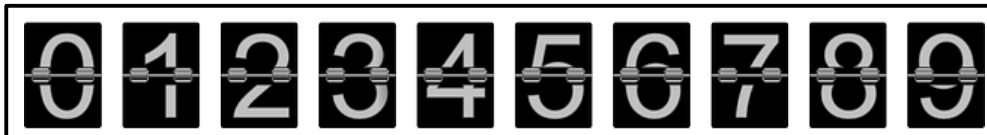
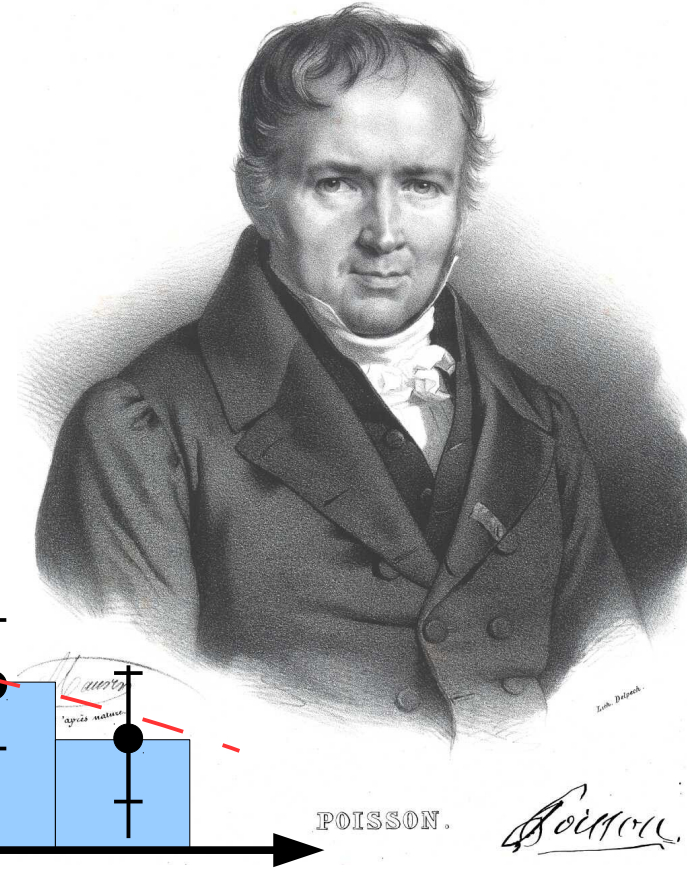


Siméon Denis Poisson
(21.07.1781 – 25.04.1840)

From one to many...



$$\prod_i \mathcal{P}(k_i, \mu_i) = \prod_i \frac{\mu_i^{k_i}}{k_i!} e^{-\mu_i}$$



Siméon Denis Poisson
(21.07.1781 – 25.04.1840)

Model building (likelihood functions)

- Likelihood of a model to be true quantified by *likelihood function* $\mathcal{L}(\{k_i\}, \{\kappa_j\})$.

$$\prod_i \mathcal{P}(k_i, \mu_i) = \prod_i \frac{\mu_i^{k_i}}{k_i!} e^{-\mu_i}$$

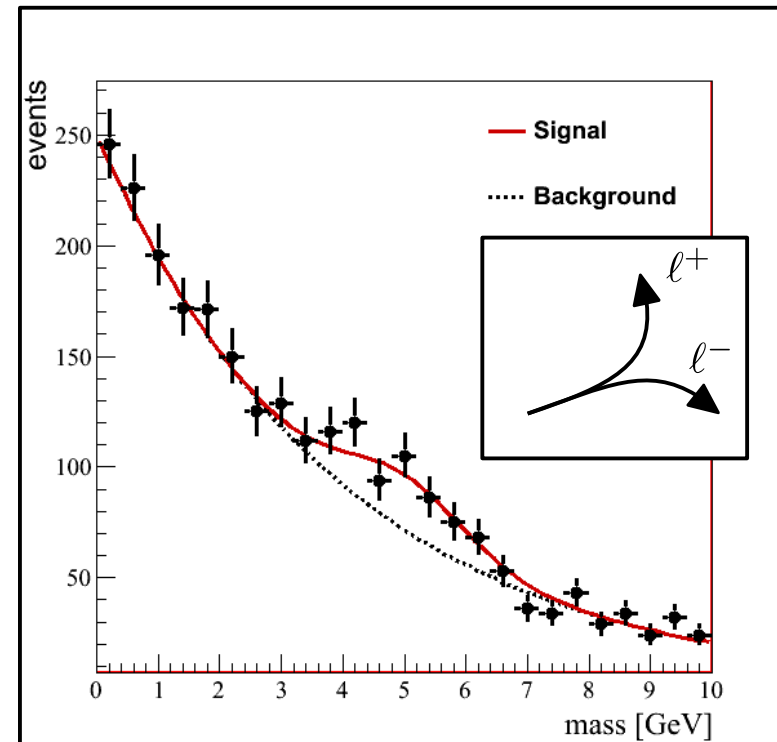
model parameters.

measured number of events (e.g. in bins i).

- Simple example:
signal on top of known background in a binned histogram:

$$\mathcal{L}(\{k_i\}, \{\kappa_j\}) = \prod_i \underbrace{\mathcal{P}(k_i, \mu_i(\kappa_j))}_{\text{Product of pdfs for each bin (Poisson).}}$$

$$\mu_i(\kappa_j) = \underbrace{\kappa_0 \cdot e^{-\kappa_1 x_i}}_{\text{background}} + \underbrace{\kappa_2 \cdot e^{-(\kappa_3 - x_i)^2}}_{\text{signal}}$$



Model building (likelihood functions)

- Likelihood of a model to be true quantified by *likelihood function* $\mathcal{L}(\{k_i\}, \{\kappa_j\})$.

$$\prod_i \mathcal{P}(k_i, \mu_i) = \prod_i \frac{\mu_i^{k_i}}{k_i!} e^{-\mu_i}$$

model parameters.

measured number of events (e.g. in bins i).

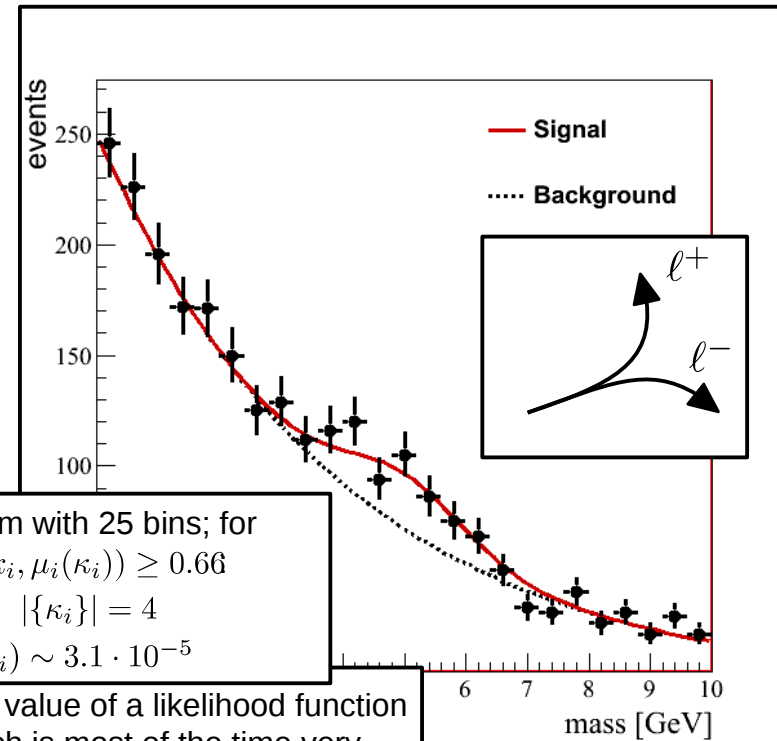
- Simple example:
signal on top of known background in a binned histogram:

$$\mathcal{L}(\{k_i\}, \{\kappa_j\}) = \prod_i \underbrace{\mathcal{P}(k_i, \mu_i(\kappa_j))}_{\text{Product of pdfs for each bin (Poisson).}}$$

$$\mu_i(\kappa_j) = \underbrace{\kappa_0 \cdot e^{-\kappa_1 x_i}}_{\text{background}} + \underbrace{\kappa_2 \cdot e^{-(\kappa_3 - x_i)^2}}_{\text{signal}}$$

EX: histogram with 25 bins; for each bin $\mathcal{P}(k_i, \mu_i(\kappa_i)) \geq 0.66$
 $|\{k_i\}| = 25$ $|\{\kappa_i\}| = 4$
 $\prod \mathcal{P}(k_i, \mu_i(\kappa_i)) \sim 3.1 \cdot 10^{-5}$

NB: a value of a likelihood function as such is most of the time very close to zero, and w/o a reference in general w/o further meaning.



Example: test statistics (LEP ~2000)

- Test signal (H_1 , for fixed mass, m , and fixed signal strength, μ) vs. background-only (H_0).

pdf's for nuisance parameters modified according to Bayes theorem.

$$\mathcal{L}(n|b(\kappa_j)) = \prod_i \mathcal{P}(n_i|b_i(\kappa_j)) \times \prod_j \mathcal{C}(\kappa_j|\tilde{\kappa}_j)$$

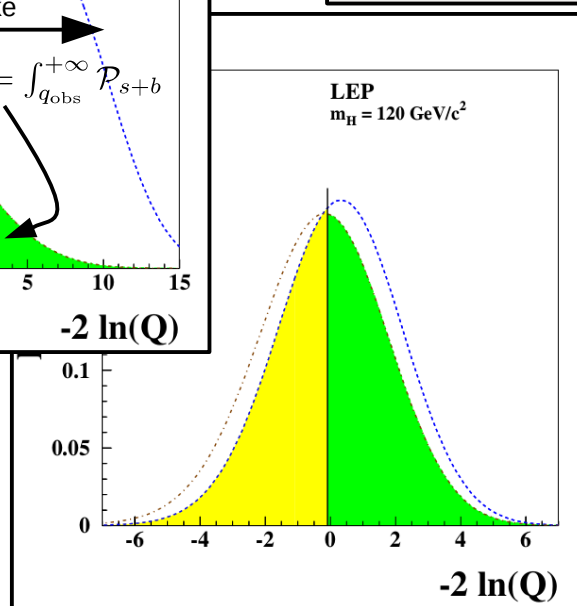
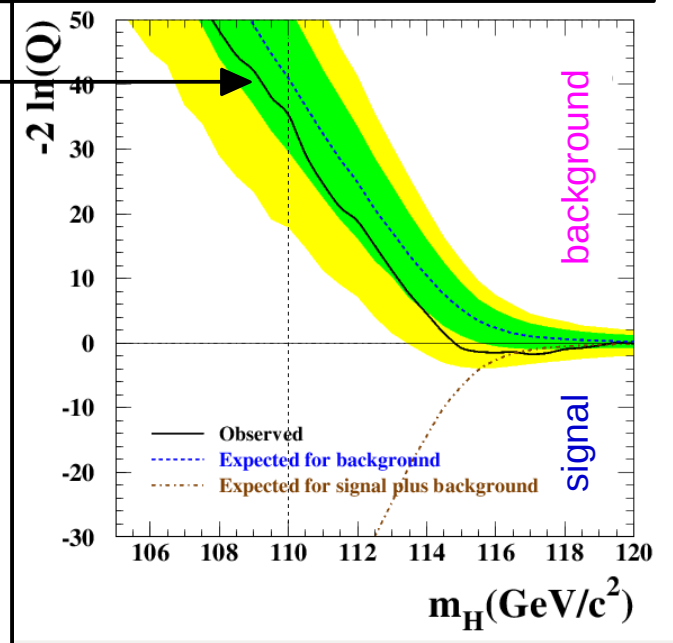
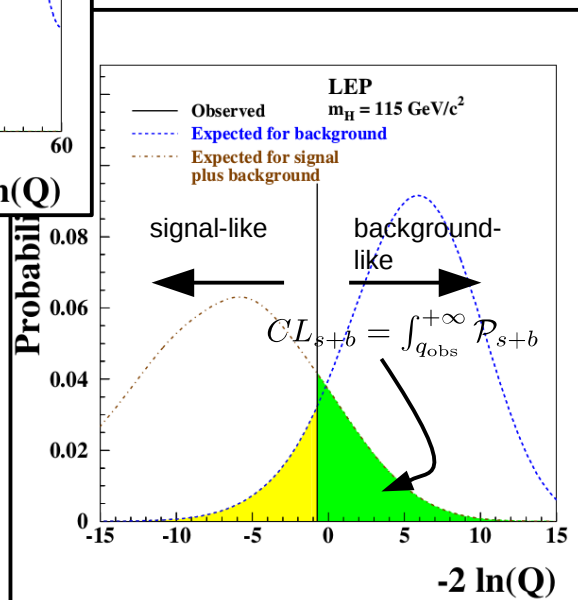
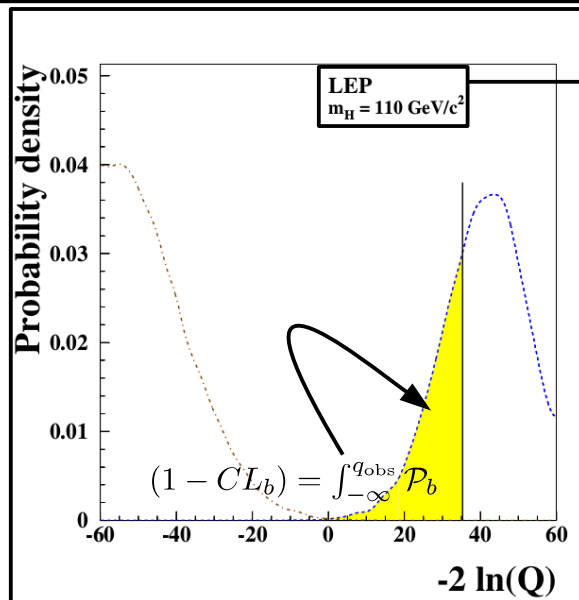
$$\mathcal{L}(n|\mu s(\kappa_j) + b(\kappa_j)) = \prod_i \mathcal{P}(n_i|\mu s_i(\kappa_j) + b_i(\kappa_j)) \times \prod_j \mathcal{C}(\kappa_j|\tilde{\kappa}_j)$$

$$q_\mu = -2 \ln \left(\frac{\mathcal{L}(n|\mu s + b)}{\mathcal{L}(n|b)} \right), \quad 0 \leq \mu$$

nuisance parameters $\tilde{\kappa}_j$ integrated out before evaluation of q_μ (\rightarrow marginalization).

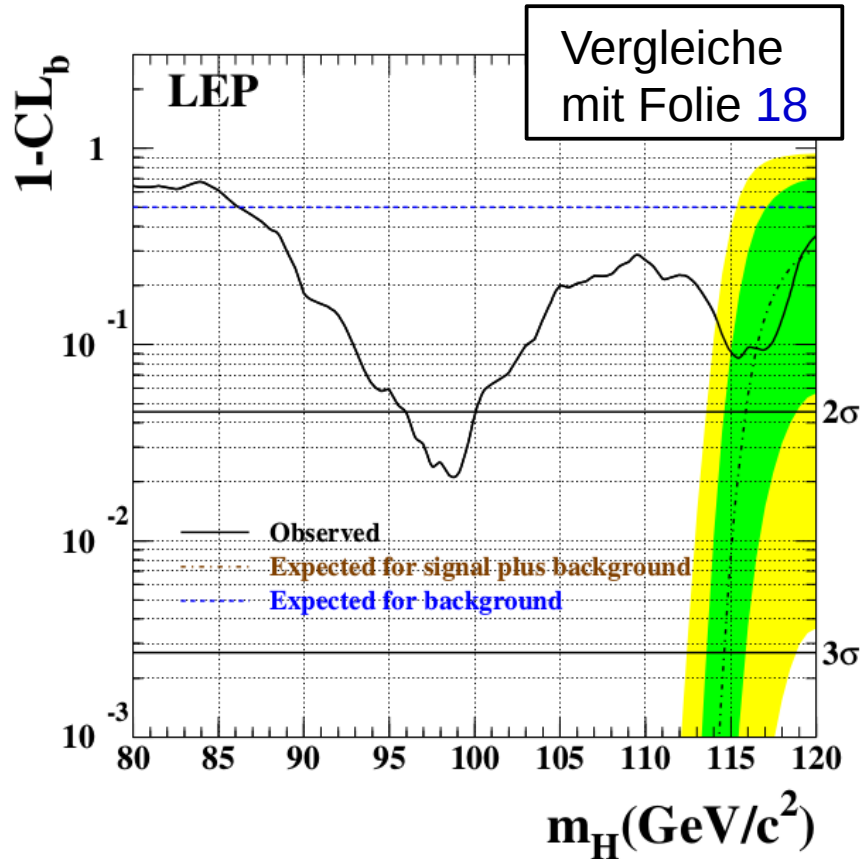
Example: test statistics (LEP)

$$q_\mu = -2 \ln \left(\frac{\mathcal{L}(n|\mu s+b)}{\mathcal{L}(n|b)} \right), \quad 0 \leq \mu$$

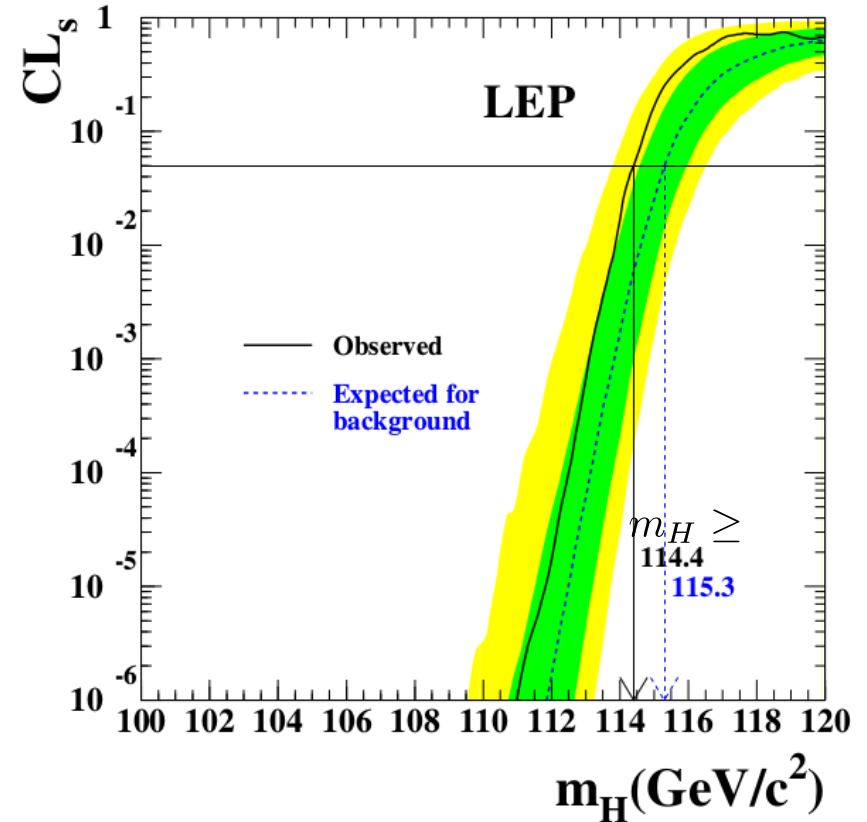


Ergebnis LEP-II

- **p-Wert** (Untergrundkompatibilität) :



- **Limit auf Masse** (@ 95% CL):

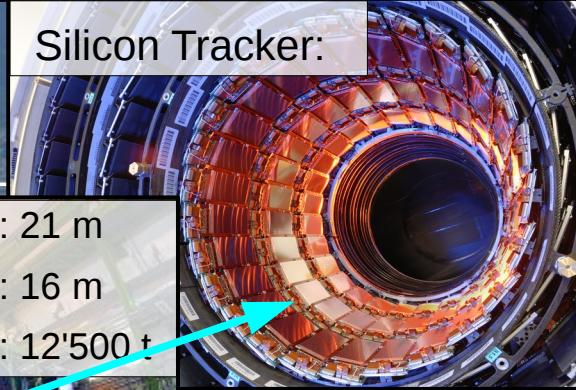


- **Kein Signal** beobachtet

- Untere Schranke auf Masse: $m_H > 114.4 \text{ GeV}$ (@ 95% CL)

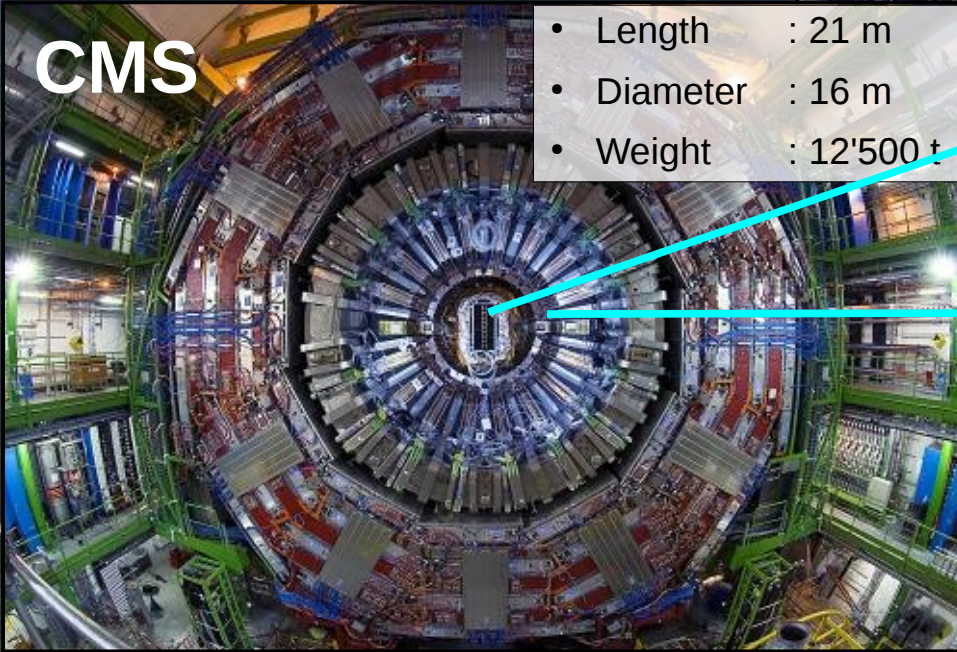
Direkte Suche am LHC

Silicon Tracker:

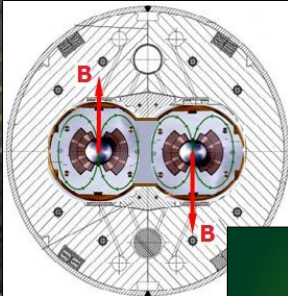
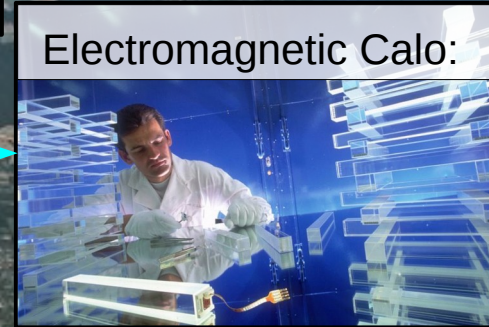


- Length : 21 m
- Diameter : 16 m
- Weight : 12'500 t

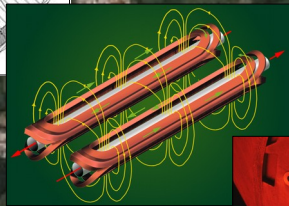
CMS



Electromagnetic Calo:

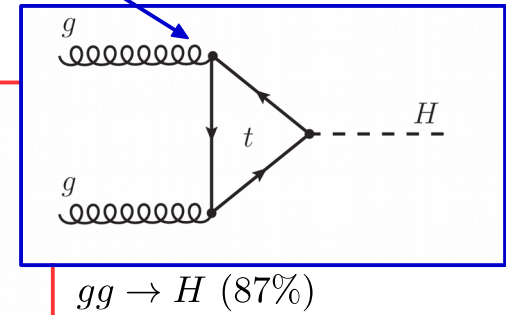
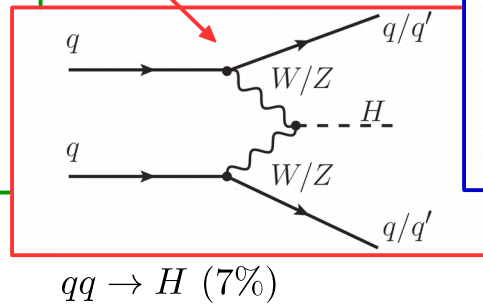
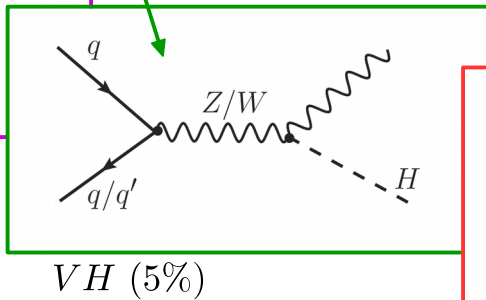
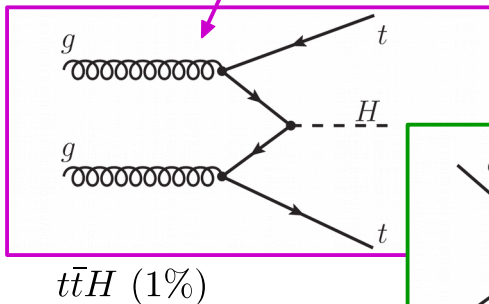
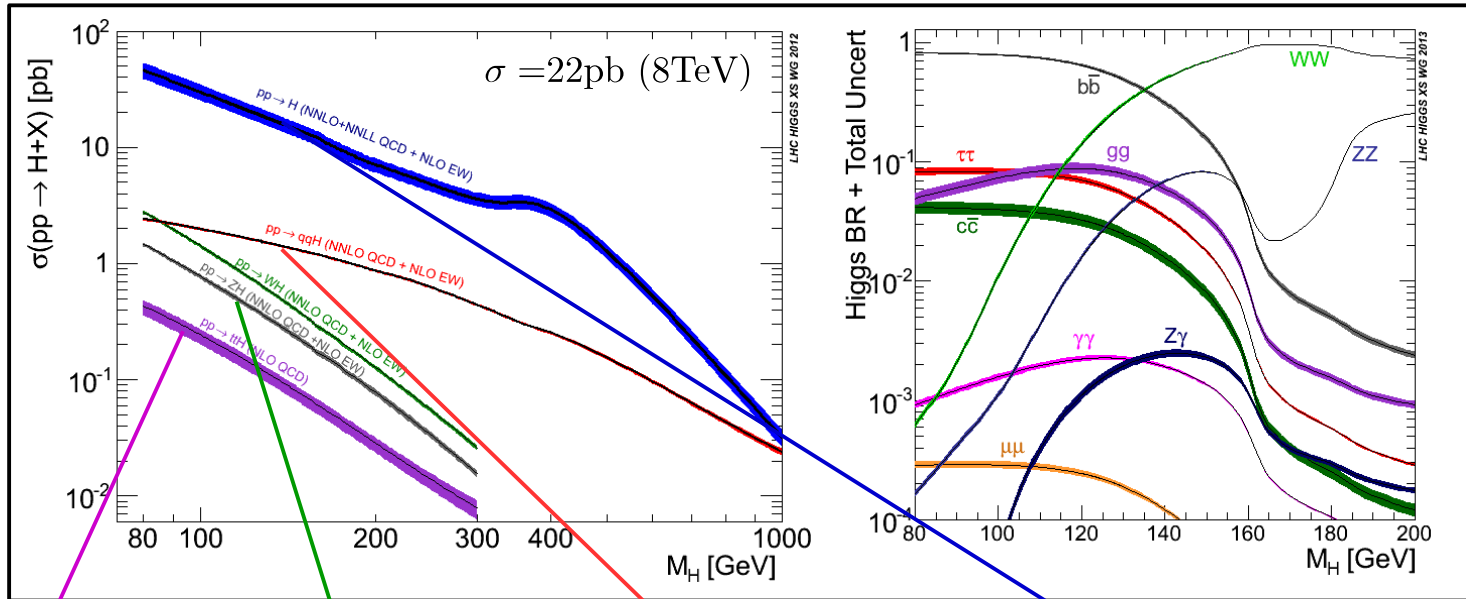


- 8.3 T
- 11.8 kA
- 160 cyc

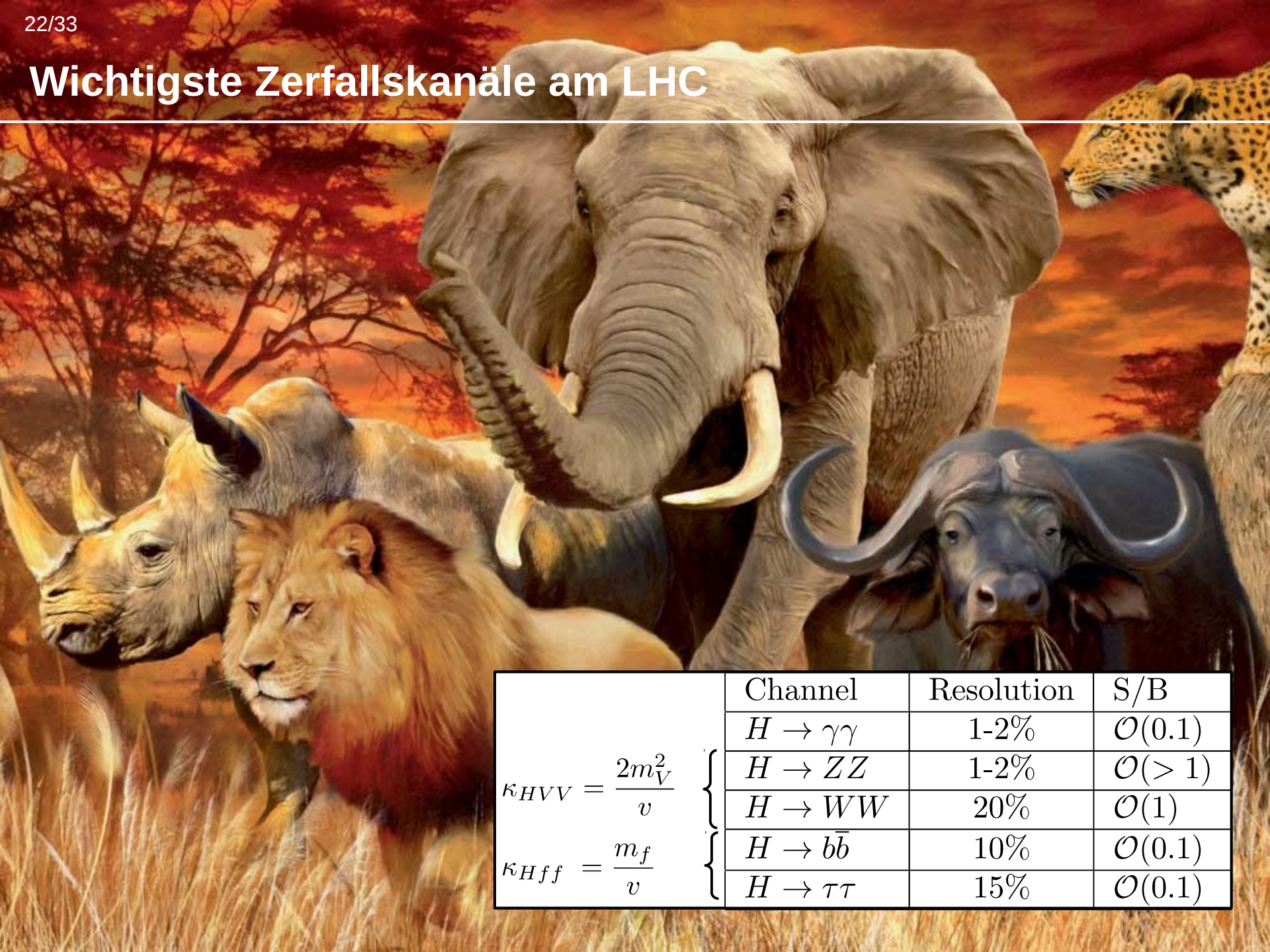


- Energy density 500 kJ/m.
- Tension 200'000 t/m.

Produktion und Zerfall



Wichtigste Zerfallskanäle am LHC



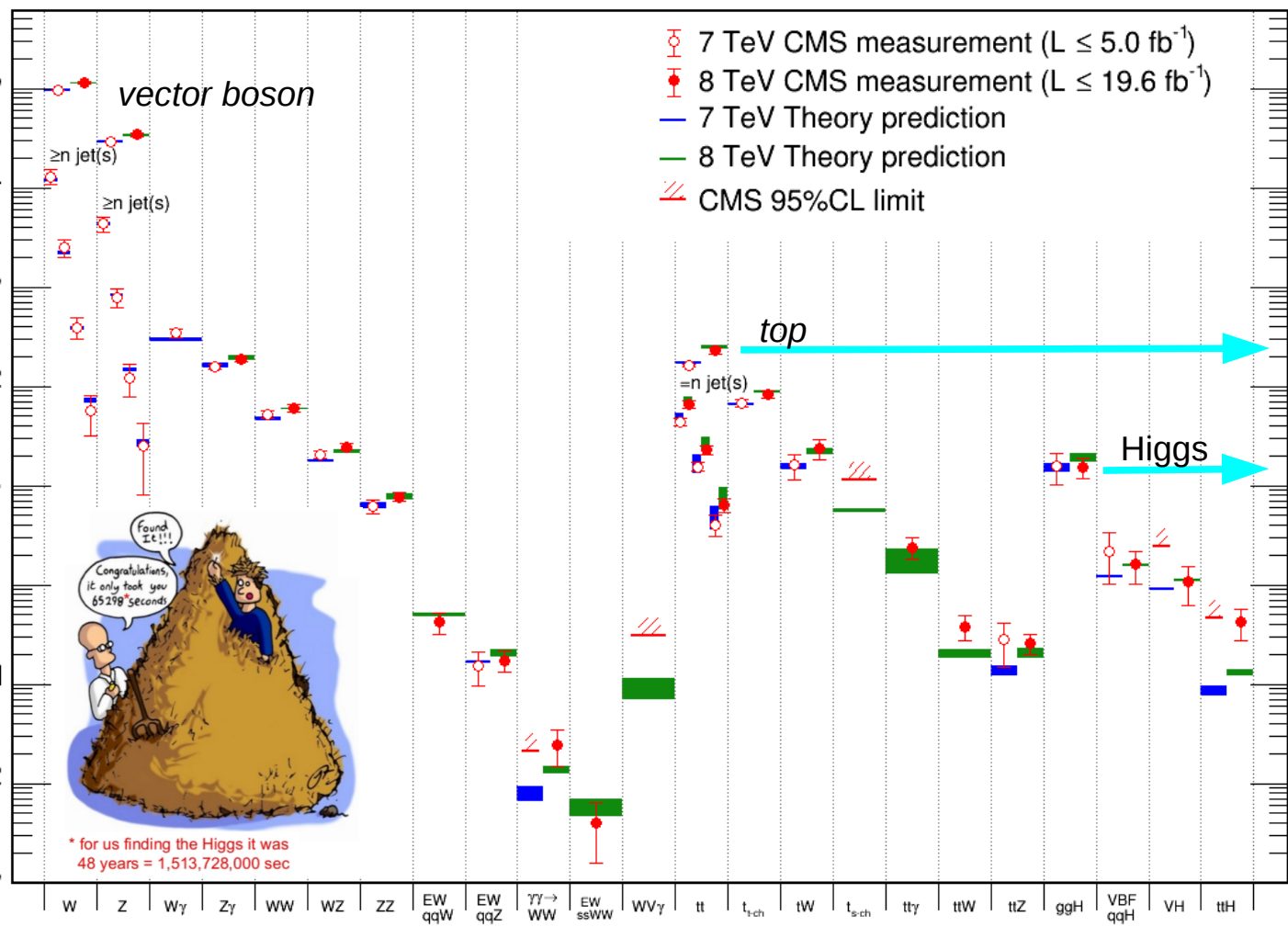
	Channel	Resolution	S/B
$\kappa_{HVV} = \frac{2m_V^2}{v}$	$H \rightarrow \gamma\gamma$	1-2%	$\mathcal{O}(0.1)$
	$H \rightarrow ZZ$	1-2%	$\mathcal{O>(> 1)$
	$H \rightarrow WW$	20%	$\mathcal{O}(1)$
$\kappa_{Hff} = \frac{m_f}{v}$	$H \rightarrow b\bar{b}$	10%	$\mathcal{O}(0.1)$
	$H \rightarrow \tau\tau$	15%	$\mathcal{O}(0.1)$

Die Herausforderung

Production Cross Section, σ [pb]

Rate in Hz^(*)

July 2015



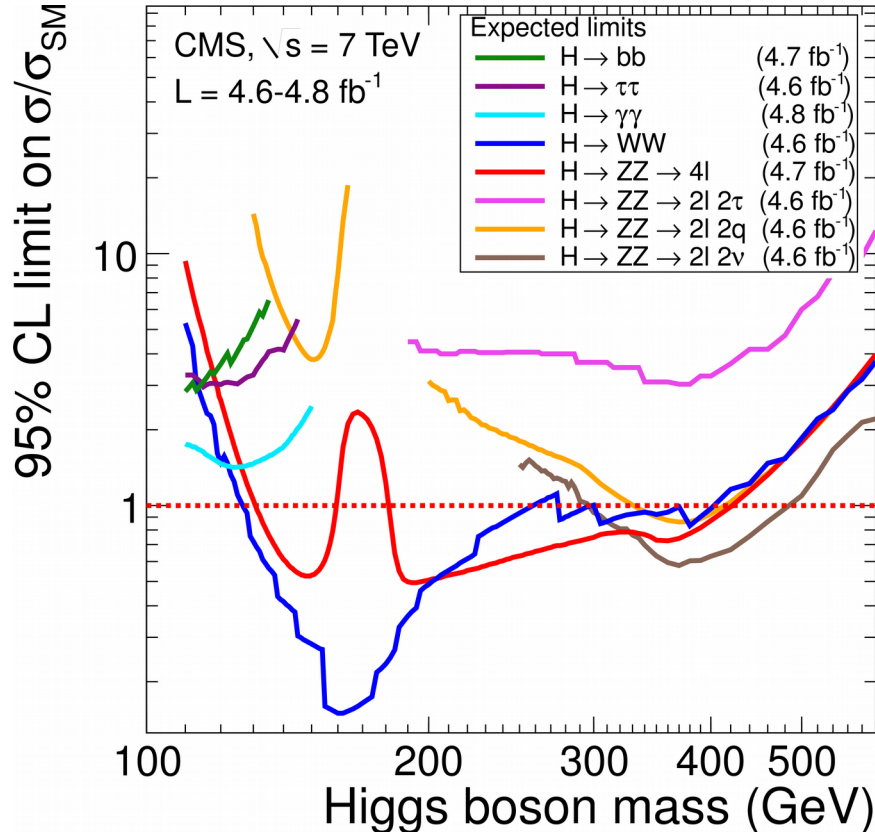
All results at: <http://cern.ch/go/pNj7>

(*) for $\mathcal{L} = 1 \text{ nb}^{-1} \text{ s}^{-1}$.

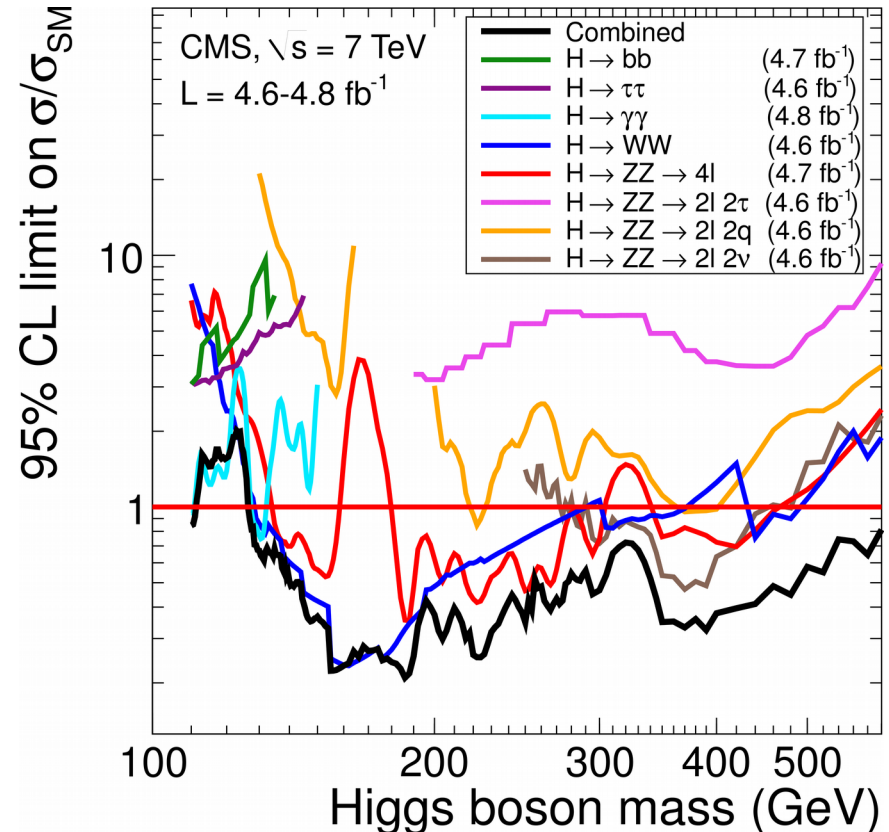
Verlauf der Suche bis Mitte 2012

Anm: ausgeschlossen sind alle Bereiche oberhalb der Kurven

- Ausschluß des SM bis auf **engen Massenbereich** des Higgs Bosons
- Erwartete (Ausschluß-)Sensitivität:

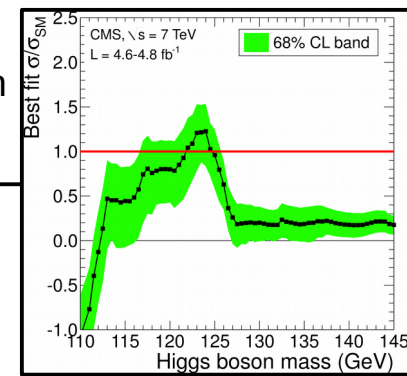


- Beobachteter Massenausschluß:

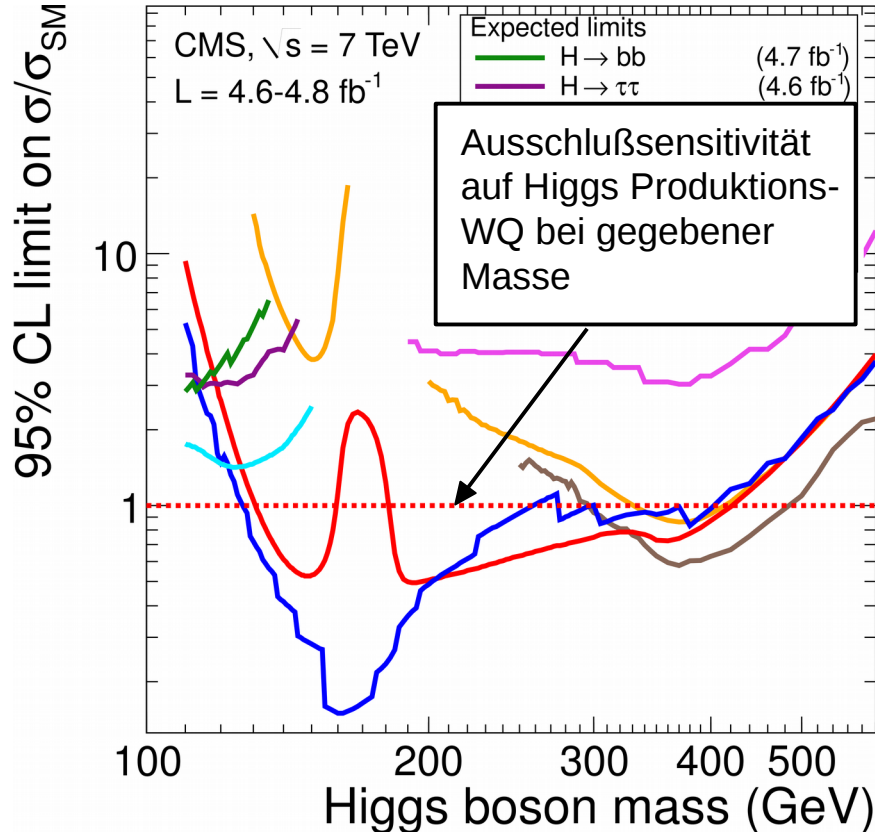


Verlauf bis Mitte 2012

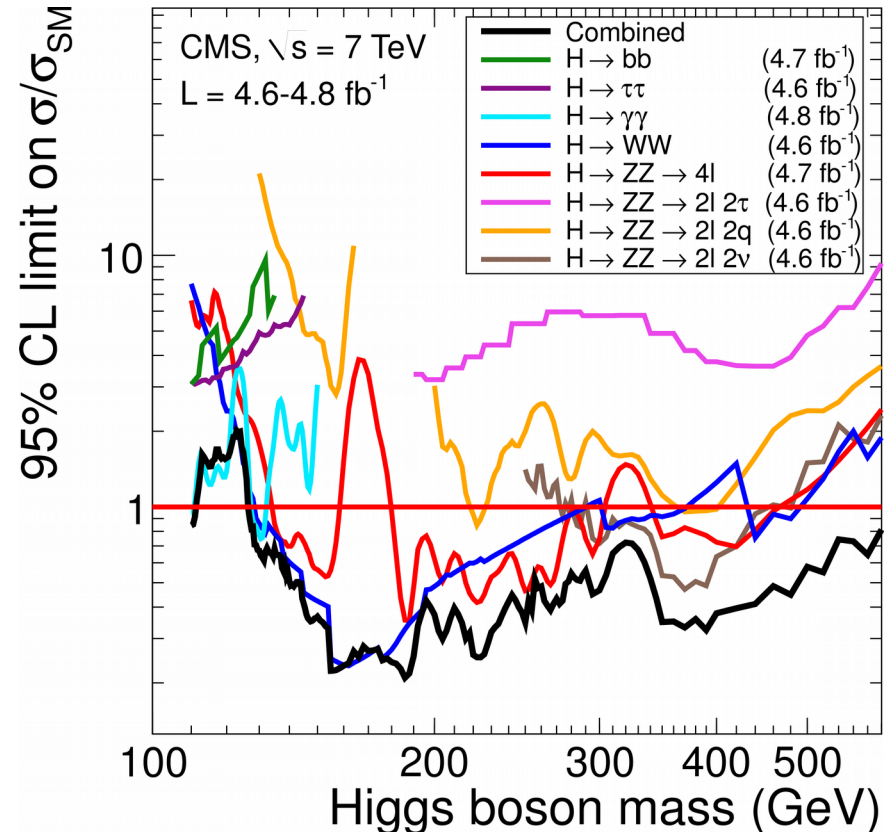
- Ausschluß des SM bis auf **engen Massenbereich** des Higgs Bosons



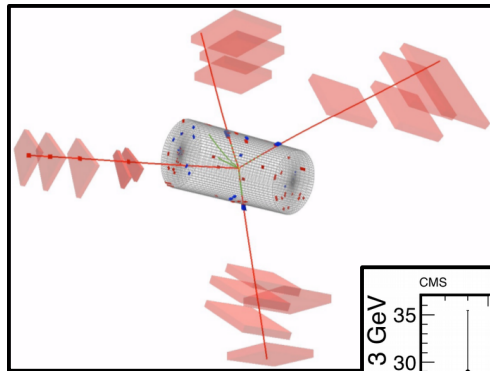
- Erwartete (Ausschluß-)Sensitivität:



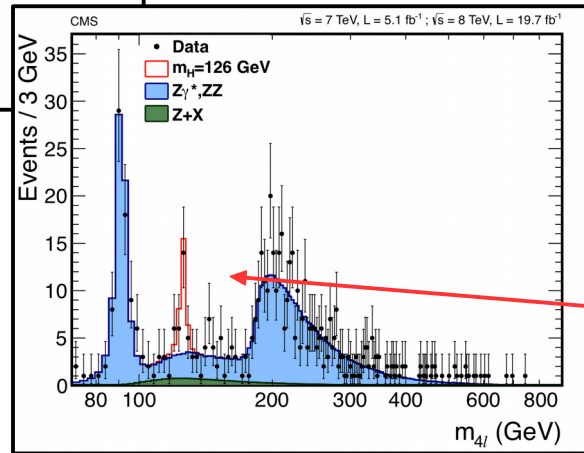
- Beobachteter Massenausschluß:



Die Entdeckung

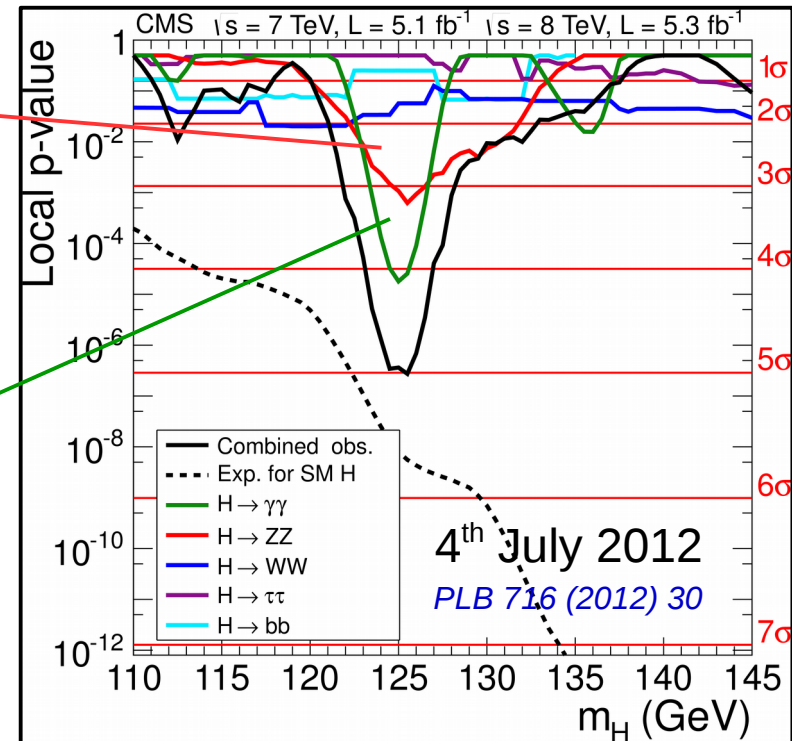
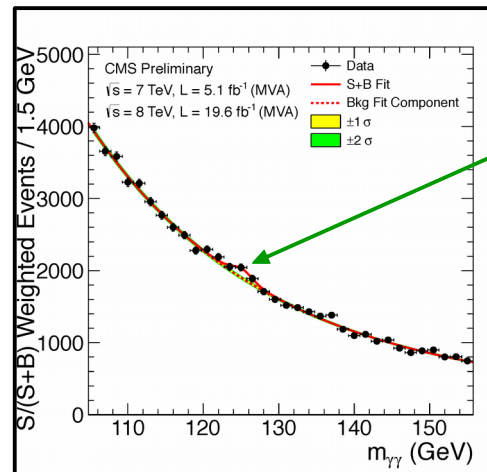
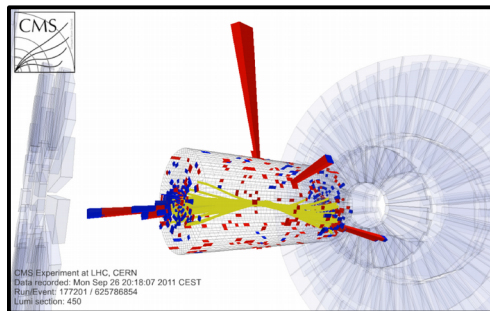


$$H \rightarrow ZZ \rightarrow 4\ell$$

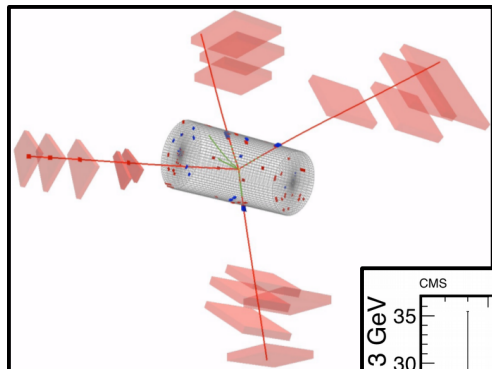


- **Klare Beobachtung** in bosonischen Zerfallskanälen
- Fermionische Kanäle noch nicht klar, weil noch nicht sensitiv genug (→ erfolgte **etwas später**)

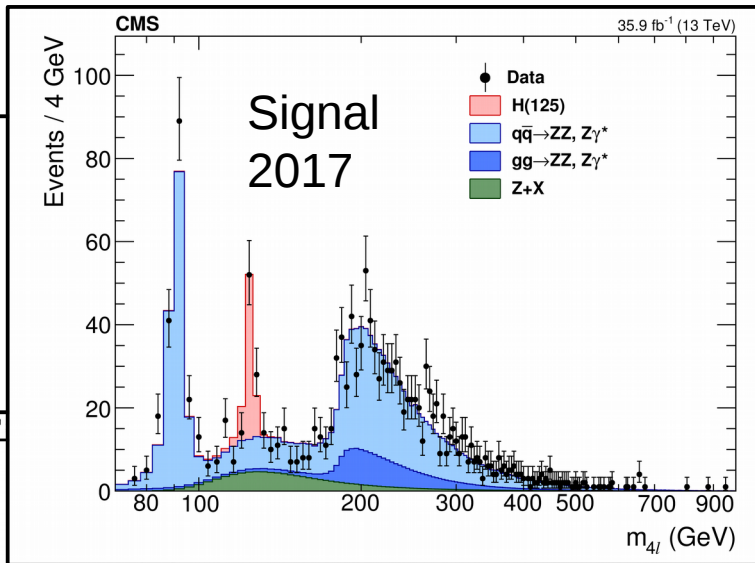
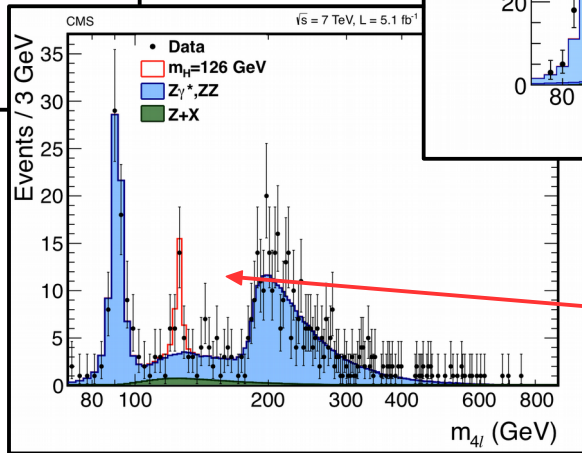
$$H \rightarrow \gamma\gamma$$



Die Entdeckung

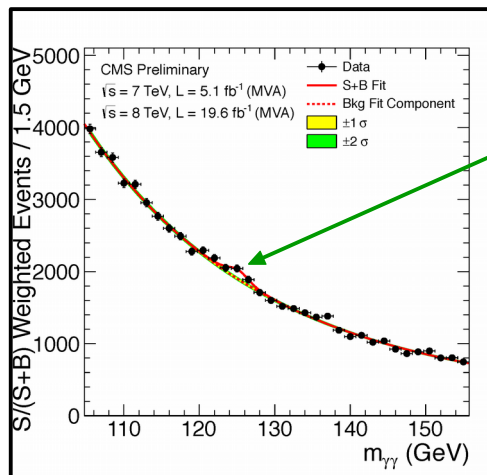
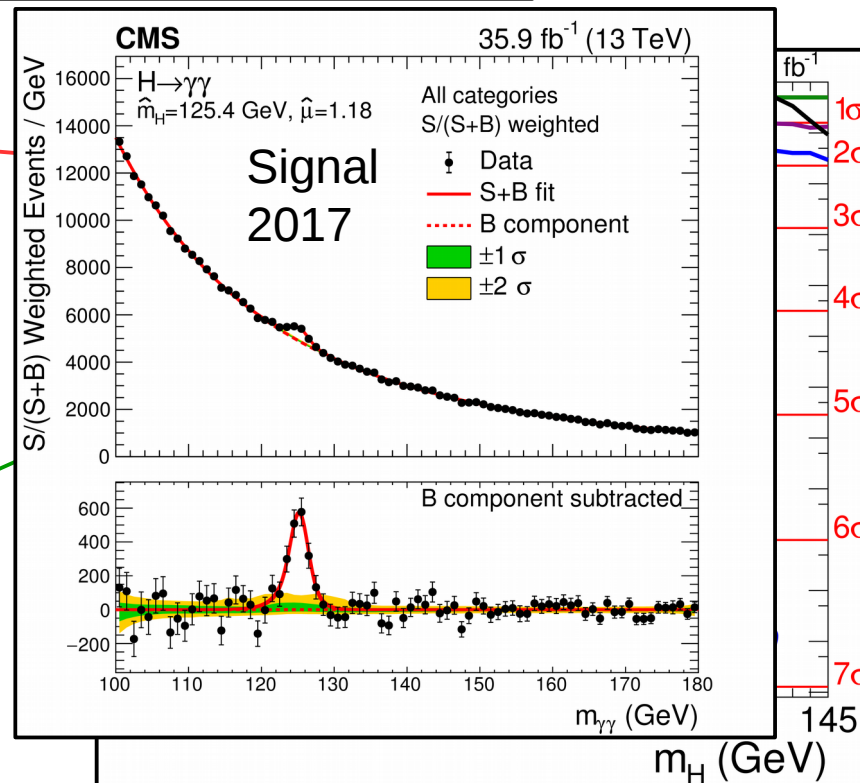


$$H \rightarrow ZZ \rightarrow 4\ell$$

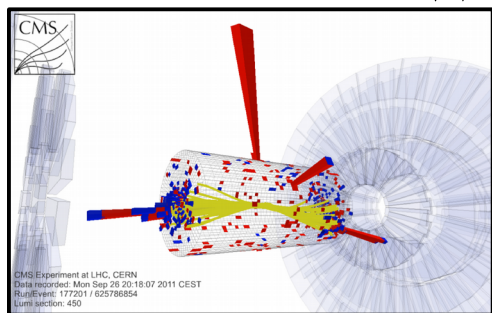


bosonischen

och nicht klar,
genug (→

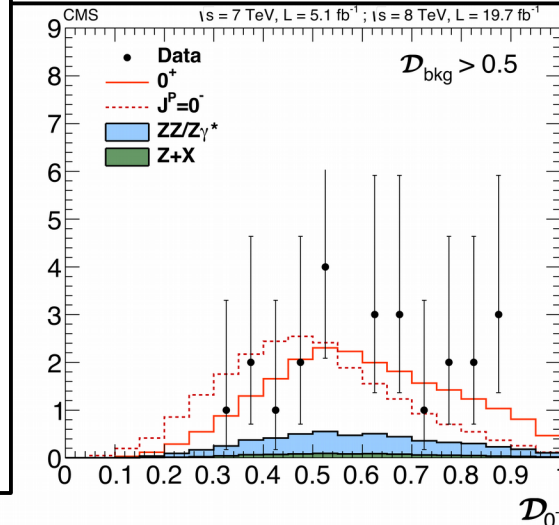
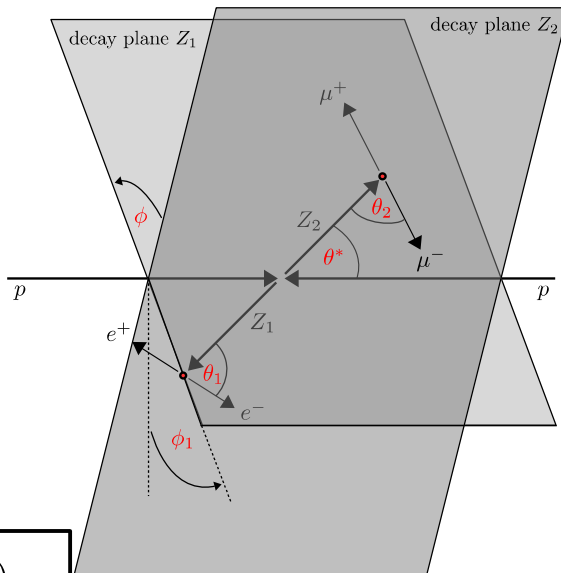


$$H \rightarrow \gamma\gamma$$



Spin & CP

- Golden decay channel:
 $H \rightarrow ZZ \rightarrow 4\ell$



PRD 89 (2014) 092007

$$P(Y_L^m(\theta, \varphi)) = (-1)^L \cdot Y_L^m(\theta, \varphi)$$

$$P(4\ell) = (-1)^L (-1)^2 (+1)^2 = (-1)^L$$

0^+

$J^P = 0^+$

$$|0, 0\rangle = \sqrt{\frac{1}{3}}|1, 1\rangle \otimes |1, -1\rangle - \sqrt{\frac{1}{3}}|1, 0\rangle \otimes |1, 0\rangle + \sqrt{\frac{1}{3}}|1, -1\rangle \otimes |1, 1\rangle$$

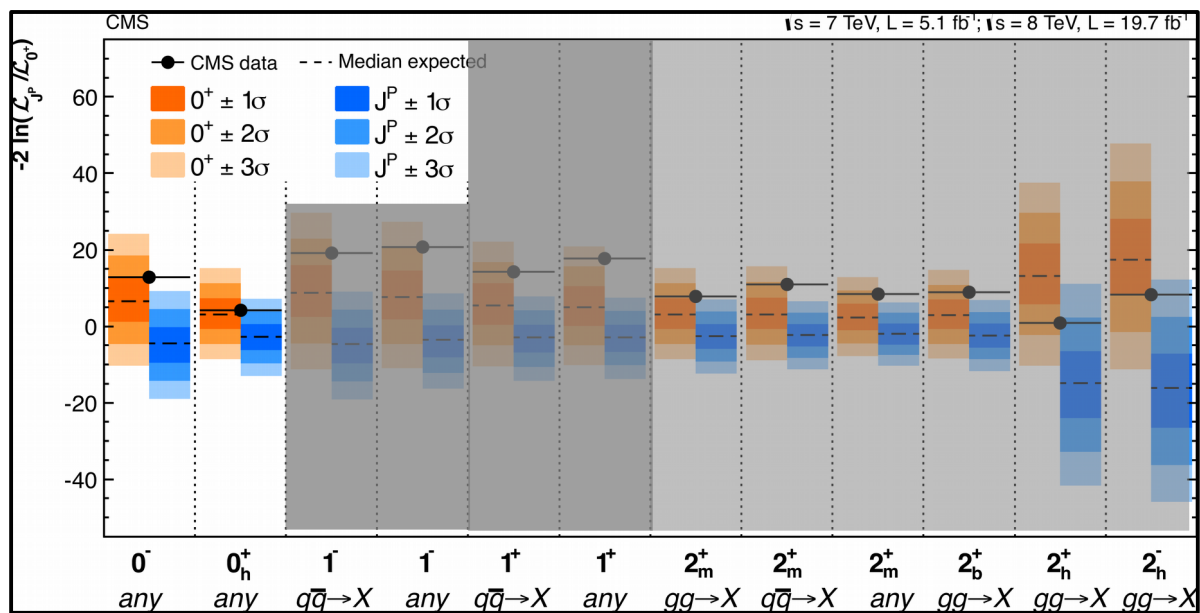
0^-

$J^P = 0^-$

$L = 1$

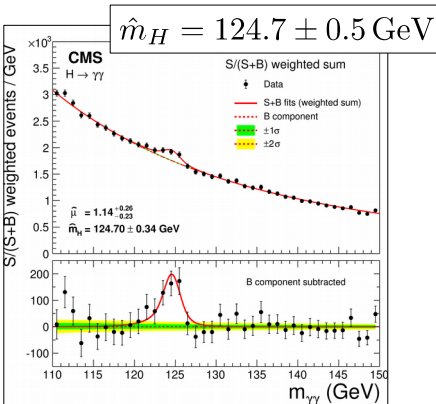
$$|1, \pm 1\rangle = \sqrt{\frac{1}{2}}|1, \pm 1\rangle \otimes |1, 0\rangle - \sqrt{\frac{1}{2}}|1, 0\rangle \otimes |1, \pm 1\rangle$$

Test of pure spin hypotheses (based on $\mathcal{O}(50)$ evts):

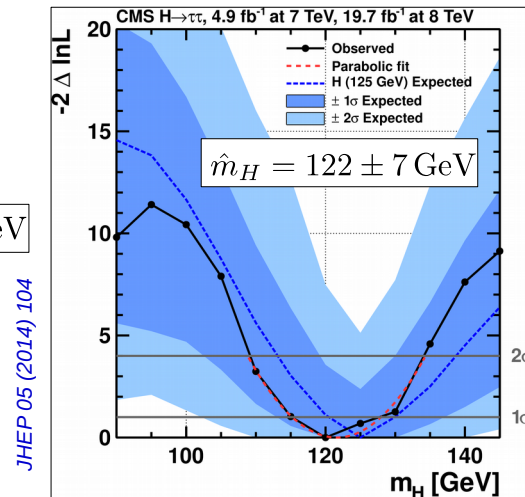
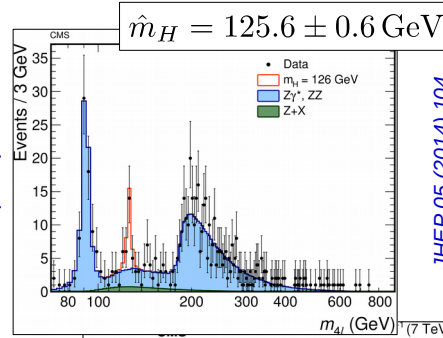


Compatibility

EPJ C 74 (2014) 3076

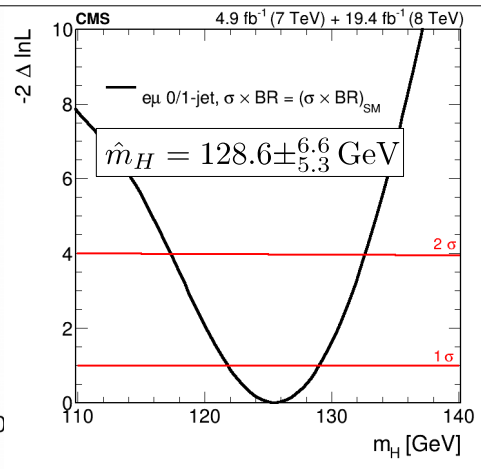
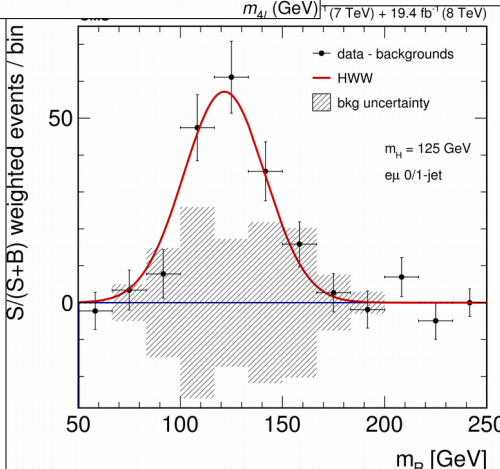


PRD 89 (2014) 092007

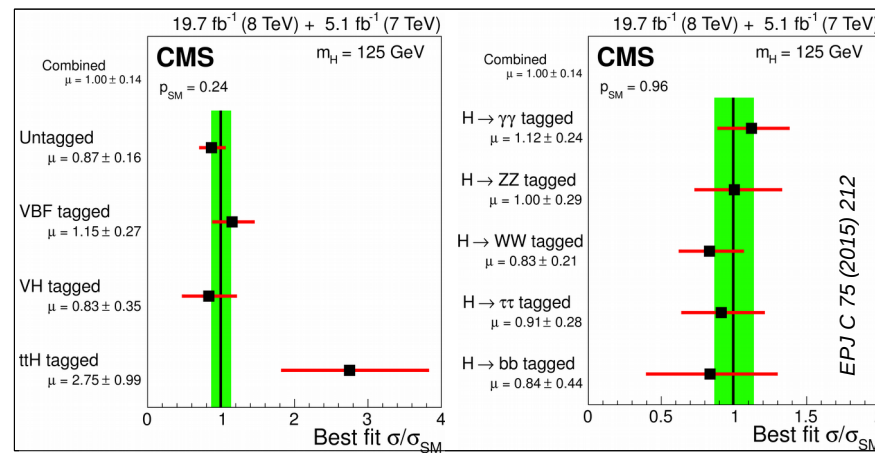


JHEP 05 (2014) 104

JHEP 01 (2014) 096



Coupling across production modes or decay channels:



EPJ C 75 (2015) 212

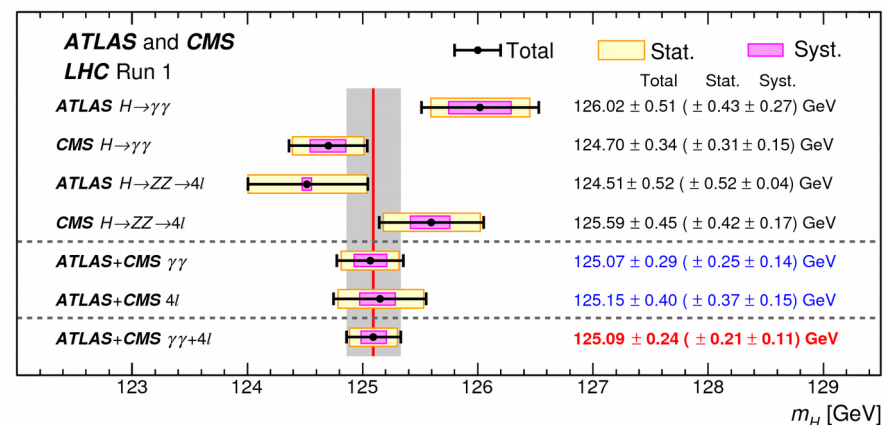
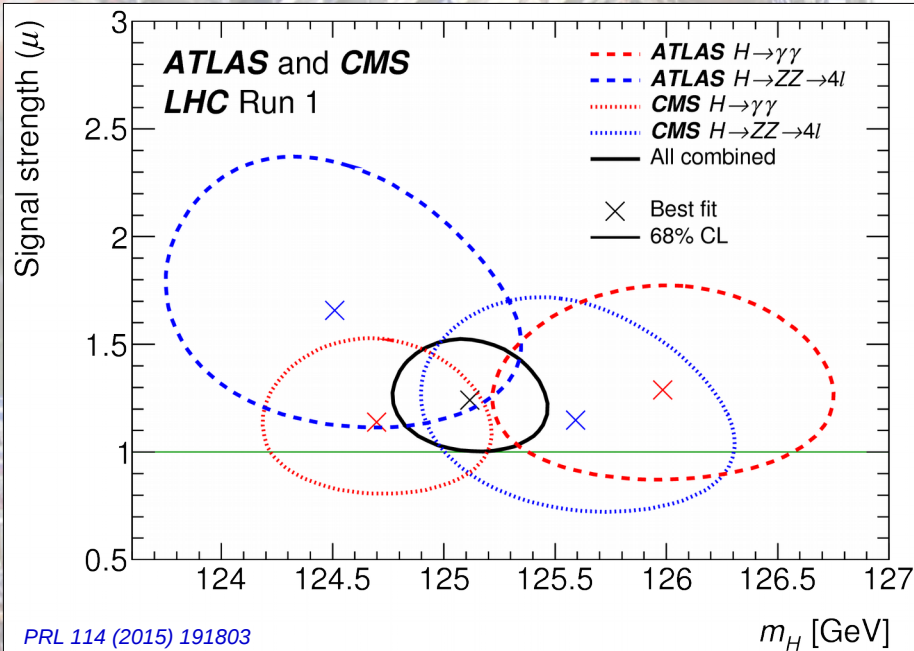
Overall coupling consistency:

- Event categories : 227
 - Nuisance parameters: $\mathcal{O}(2500)$
 - 16 MB binary file of stat. model (~145 MB in human readable form).
- $\mu = \sigma/\sigma_{SM} = 1.00 \pm 0.14$
 $p\text{-value} = 84\%$

EPJ C 75 (2015) 212

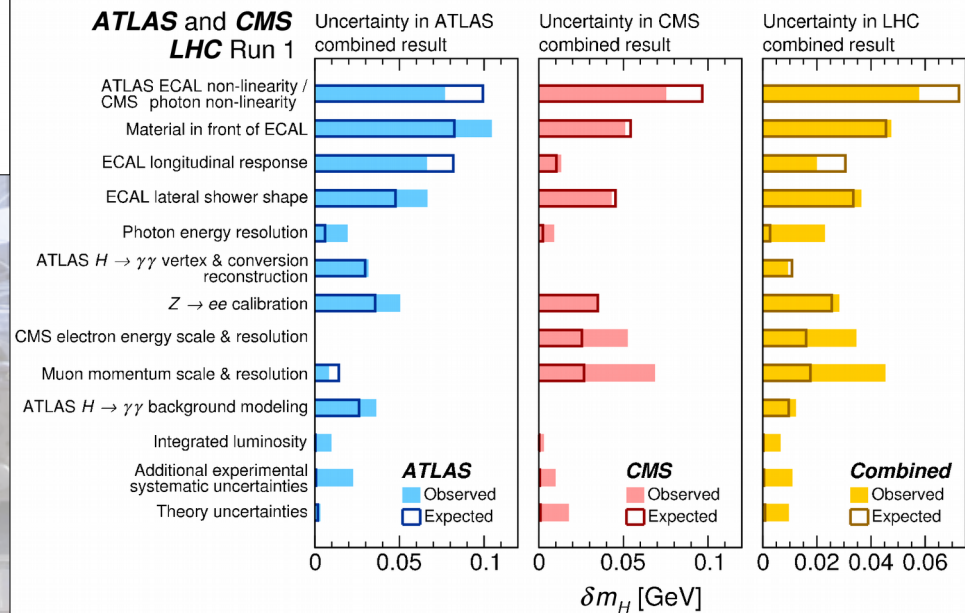
Mass

- ATLAS+CMS LHC run-1 combination:



$$125.06 \pm 0.21 \text{ (stat.)} \pm 0.19 \text{ (syst.) GeV}$$

ATLAS and CMS LHC Run 1



Coupling structure

- Event categories : 574
 - Nuisance parameters: 4268
- $\mu = \sigma/\sigma_{SM} = 1.09 \pm 0.11$

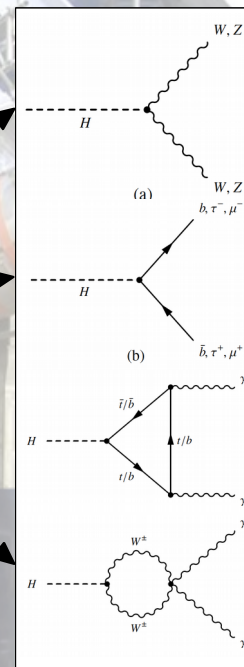
ATLAS+CMS LHC run-1 combination:

Considered production modes:

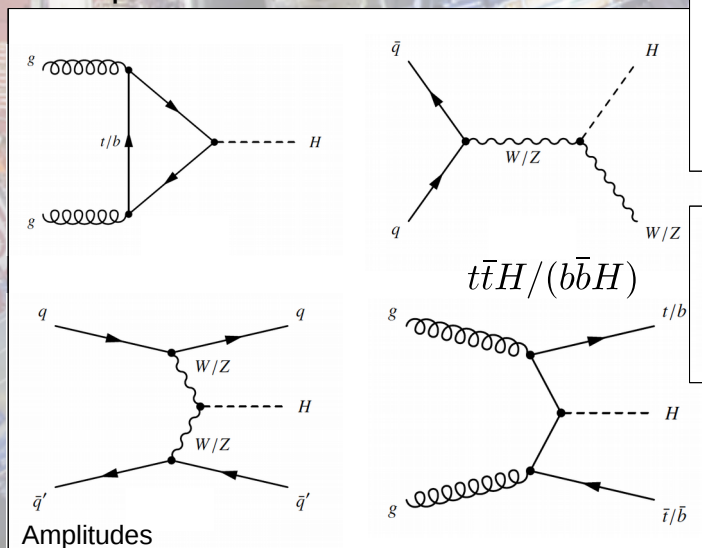
Production process	Cross section [pb]		Order of calculation
	$\sqrt{s} = 7$ TeV	$\sqrt{s} = 8$ TeV	
ggF	15.0 ± 1.6	19.2 ± 2.0	NNLO(QCD)+NLO(EW)
VBF	1.22 ± 0.03	1.58 ± 0.04	NLO(QCD+EW)+~NNLO(QCD)
WH	0.577 ± 0.016	0.703 ± 0.018	NNLO(QCD)+NLO(EW)
ZH	0.334 ± 0.013	0.414 ± 0.016	NNLO(QCD)+NLO(EW)
[ggZH]	0.023 ± 0.007	0.032 ± 0.010	NLO(QCD)
bbH	0.156 ± 0.021	0.203 ± 0.028	5FS NNLO(QCD) + 4FS NLO(QCD)
ttH	0.086 ± 0.009	0.129 ± 0.014	NLO(QCD)
tH	0.012 ± 0.001	0.018 ± 0.001	NLO(QCD)
Total	17.4 ± 1.6	22.3 ± 2.0	

Considered decay channels:

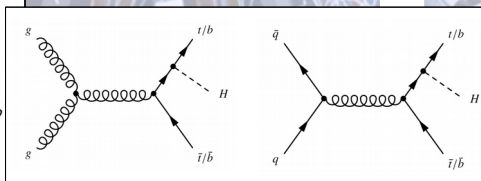
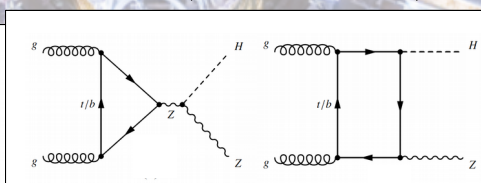
Decay channel	Branching ratio [%]
$H \rightarrow bb$	57.5 ± 1.9
$H \rightarrow WW$	21.6 ± 0.9
$H \rightarrow gg$	8.56 ± 0.86
$H \rightarrow \tau\tau$	6.30 ± 0.36
$H \rightarrow cc$	2.90 ± 0.35
$H \rightarrow ZZ$	2.67 ± 0.11
$H \rightarrow \gamma\gamma$	0.228 ± 0.011
$H \rightarrow Z\gamma$	0.155 ± 0.014
$H \rightarrow \mu\mu$	0.022 ± 0.001



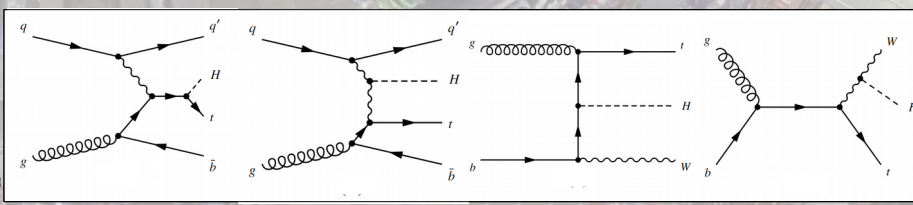
Main production modes:



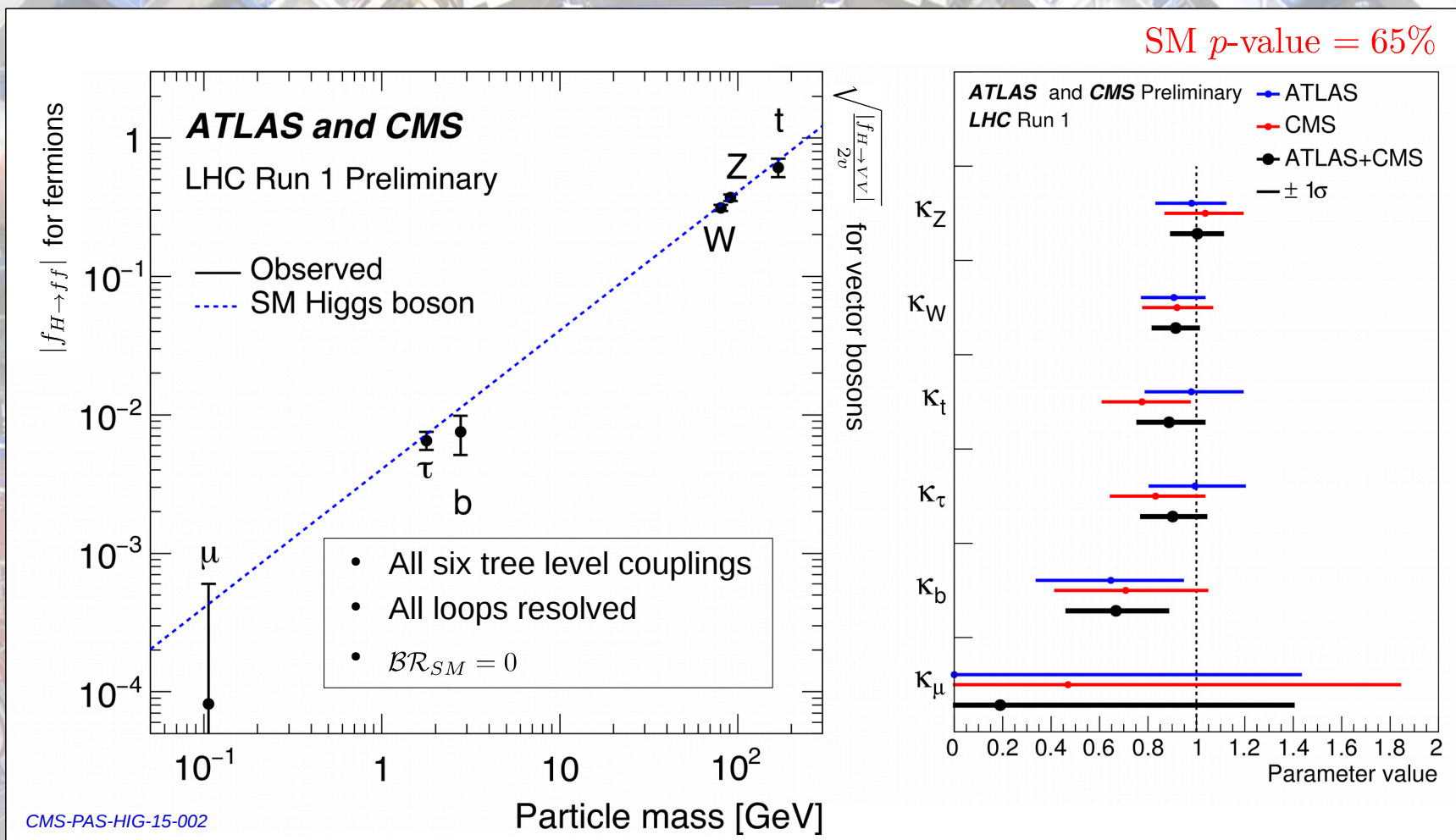
gg → ZH (10% to ZHbb)



tqH + tHW



“Money plot”



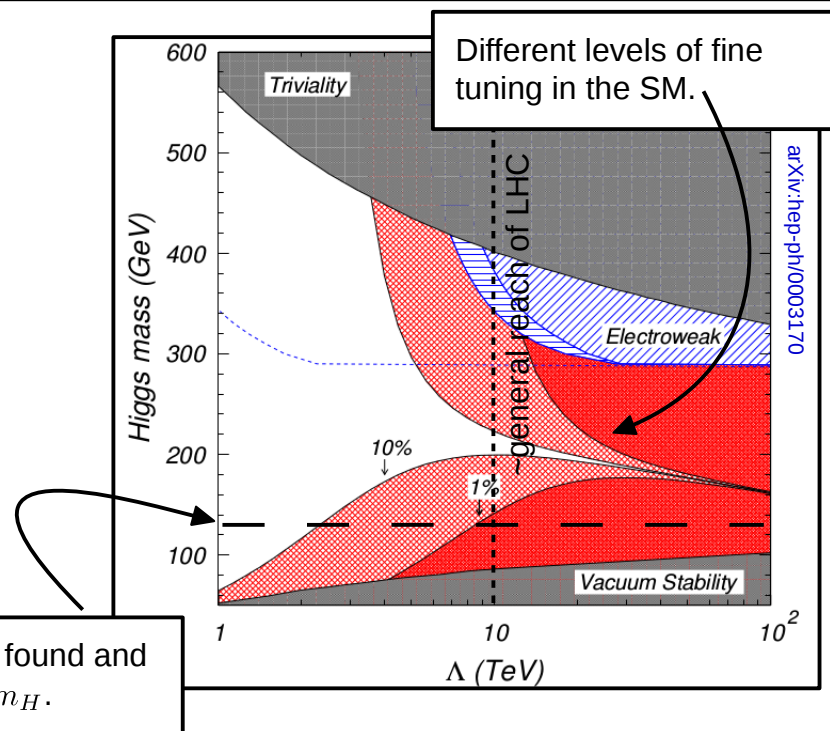
$$|f_{H \rightarrow ff}^{\text{obs}}| = \kappa_f \cdot |f_{H \rightarrow ff}^{\text{SM}}| = \kappa_f \cdot \frac{m_f}{v} \quad f = \mu, \tau, b, t$$

$$\sqrt{\frac{|f_{H \rightarrow VV}^{\text{obs}}|}{2v}} = \sqrt{\kappa_V} \cdot \sqrt{\frac{|f_{H \rightarrow VV}^{\text{SM}}|}{2v}} = \sqrt{\kappa_V} \cdot \frac{m_V}{v} \quad V = W, Z$$

Within measurement accuracy
unique scaling as expected
within the SM.

Why the Higgs boson still is not **THE** Higgs boson ⁽¹⁾

- Gravity is not included in the SM.
- The SM suffers from the hierarchy problem.
- Dark matter is not included in the SM.
- Neutrino masses are not included in the SM.
- There are known deviations from the SM expectation in $a_\mu \equiv \frac{g_\mu - 2}{2}$ (3.6σ unresolved).



- There must be physics beyond the SM!
- At what scale does it set in?
- (How) Does it influence the Higgs sector?

⁽¹⁾ Arguments taken from S. Heinemeyer (HH Higgs workshop 2014)

Gliederung der Vorlesung



Vorlesung:	Vorlesungstag:	Übungsblatt:
VL-01 Einheiten, Relativistische Kinematik	Di 17.04.2018	-
VL-02 Teilchenstreuung	Do 19.04.2018	-
VL-03 Wirkungsquerschnitt	Di 24.04.2018	Blatt-01
VL-04 Teilchenbeschleunigung	Do 26.04.2018	-
Vorlesung fällt aus	Di 01.05.2018	Blatt-02
VL-05 Teilchennachweis durch Ionisation	Do 03.05.2018	-
VL-06 Elektromag. WW und Schauer	Di 08.05.2018	Blatt-03
Vorlesung fällt aus	Do 10.05.2018	-
VL-07 Detektoren der Teilchenphysik	Di 15.05.2018	Blatt-04
VL-08 Symmetrien und Erhaltungsätze	Do 17.05.2018	-
VL-09 Fundamentale Teilchen und Kräfte im SM	Di 22.05.2018	Blatt-05
VL-10 Diskrete Symmetrien des SM	Do 24.05.2018	-
VL-11 Teilchenzoo: vom Hadron zum Quark	Di 29.05.2018	Blatt-06
Vorlesung fällt aus	Do 31.05.2018	-
VL-12 Farbladung und QCD	Di 05.06.2018	Blatt-07
VL-13 Phänomenologie der schwachen WW	Do 07.06.2018	-
VL-14 Theorie der elektroschwachen WW	Di 12.06.2018	Blatt-08
VL-15 Higgs Mechanismus	Do 14.06.2018	-
VL-16 SM: Quarksektor	Di 19.06.2018	Blatt-09
VL-17 Top: Entdeckung und Eigenschaften	Do 21.06.2018	-
VL-18 Higgs: Entdeckung und Eigenschaften	Di 26.06.2018	-
VL-19 Neutrino-Physik	Do 28.06.2018	-

